

Dr. Geol. Maria-Luise Gögl
Dr. Geol. Giovanni Ronzani
Via Lancia Straße 8/a
39100 Bolzano / Bozen
Tel + Fax 0471 238049
e-mail: studio@geo3bz.191.it



AUTONOME PROVINZ BOZEN SÜDTIROL PROVINCIA AUTONOMA DI BOLZANO ALTO ADIGE

GEMEINDE SAND IN TAUFRS COMUNE DI CAMPO TURES

**BAU DES
WASSERSPEICHERS
„TOBL“ in Sand in Taufers**

**REALIZZAZIONE DEL
SERBATOIO
„TOBL“ a Campo Tures**

GEOTECHNISCHER BERICHT

RELAZIONE GEOTECNICA

Auftraggeber:

Gemeinde Sand in Taufers
Rathausstr. 8

39032 Sand in Taufers

AUTONOME PROVINZ BOZEN SÜDTIROL PROVINCIA AUTONOMA DI BOLZANO ALTO ADIGE

GEMEINDE SAND IN TAUfers COMUNE DI CAMPO TURES

BAU DES WASSERSPEICHERS „TOBL“ in Sand in Taufers GEOTECHNISCHER BERICHT INHALTSVERZEICHNIS

REALIZZAZIONE DEL SERBATOIO „TOBL“ a Campo Tures RELAZIONE GEOTECNICA SOMMARIO

| | |
|--|----|
| 1 VORWORT | 2 |
| 1 PREMESSA..... | 2 |
| 2 GEOGNOSTISCHE UNTERSUCHUNGEN | 2 |
| 2 INDAGINI GEOGNOSTICHE..... | 2 |
| 2.1 Dynamische Penetrometerversuche | 2 |
| 2.1 Prove penetrometriche dinamiche..... | 2 |
| 3 GEOTECHNISCHE DARSTELLUNG DES UNTERGRUNDSES..... | 4 |
| 3 SCHEMATIZZAZIONE GEOTECNICA DEL SOTTOSUOLO | 4 |
| 4 GEOTECHNISCHE BEURTEILUNG..... | 6 |
| 4 VERIFCHE GEOTECNICHE..... | 6 |
| 4.1 Tragfähigkeitsberechnungen | 7 |
| 4.1 calcolo della capacità portante..... | 7 |
| 4.2 Setzungen..... | 8 |
| 4.2 cedimenti | 8 |
| 4.3 Steifemodul (nach Winkler) | 9 |
| 4.3 Modulo di Winkler | 9 |
| 4.4 Kurzfristige Stabilität der Aushubböschungen | 10 |
| 4.4 Stabilita' a breve termine dei fronti di scavo | 10 |

ANLAGEN / ALLEGATI:

- 1 – CHOROGRAPHIE / COROGRAFIA
- 2 – GEOLOGISCHE KARTE MIT LOKALISIERUNG DER UNTERSUCHUNGEN
CARTA GEOLOGICA CON LOCALIZZAZIONE DELLE INDAGINI
- 3 – DETAILLAGEPLAN / PLANIMETRIA DI DETTAGLIO
- 4 – GEOGNOSTISCHE BAGGERSCHÜRFE / SCAVI GEOGNOSTICI
- 5 – DYNAMISCHE RAMMSONDIERUNGEN DPH / PROVE PENETROMETRICHE DINAMICHE DPH
- 6 – GEOLOGISCH-GEOTECHNISCHE PROFILSCHNITTE
SEZIONI GEOLOGICHE GEOTECNICHE
- 7 – SCHNITT AUS DEM PROJEKT MIT BODENAUSTAUSCH
SEZIONE DA PROGETTO CON BONIFICA
- 8 – TABELLEN DER SETZUNGSBERECHNUNGEN / TABULATI DI CALCOLO DEI CEDIMENTI
- 9 – BILDDOKUMENTATION / DOCUMENTAZIONE FOTOGRAFICA

BAU DES WASSERSPEICHERS „TOBL“ in Sand in Taufers

GEOTECHNISCHER BERICHT

1 VORWORT

Im Untersuchungsgebiet, in der Lokalität „tobl“ (Gemeinde Sand in Taufers) ist der Bau des Wasserspeichers „Tobl“ geplant.

Das vorliegende Gutachten, wie mit dem Ingenieurbüro Sulzenbacher und der Gemeinde Sand in Taufers abgesprochen, vervollständigt in Folge der *in situ*-Versuche das vorläufige Gutachten vom 28/06/2007 im Hinblick auf die geotechnischen Angaben. Was die geologische und geomechanische Situation anbelangt, gelten die Angaben und Prüfergebnisse aus dem entsprechenden, oben genannten Vorgutachten.

Auf der Grundkarte im Maßstab 1:5.000 der Autonomen Provinz Bozen liegt das Untersuchungsgebiet im Blatt 08082 und auf der topografischen Karte im Maßstab 1:25.000 im Blatt 4B-IV-SW und 4B-IV-NW.

2 GEOGNOSTISCHE UNTERSUCHUNGEN

Um aussagekräftige Kennwerte über den Untergrund des Untersuchungsgebietes zu erhalten, wurden 2 Rammsondierungen vom Typ DPH (abgeteuft bis in eine Tiefe von 9,8 und 9,3 m unter derzeitiger GOK) und 2 geognostische Baggerschürfe (abgeteuft bis in eine Tiefe von 3,5 und 3,0 m unter derzeitiger GOK) durchgeführt. Die Lage der Untersuchungsbereiche sind in der Anlage 2 und in der Anlage 3 wiedergegeben.

2.1 DYNAMISCHE PENETROMETERVERSUCHE

Zur Durchführung der Rammsondierungen DPH wurde eine dynamische Rammsonde DeepDrill mit einem Fallgewicht von 50 Kg aus einer

REALIZZAZIONE DEL SERBATOIO „TOBL“ a Campo Tures

RELAZIONE GEOTECNICA

1 PREMESSA

Nell'area in esame, in località Tobl (Comune di Campo Tures), è prevista la realizzazione del serbatoio d'acqua "Tobl".

La presente relazione, come da accordi con lo Studio di Ingegneria Sulzenbacher e con il Comune di Campo Tures, a seguito dell'esecuzione delle previste indagini *in situ*, va ad integrare la precedente relazione di data 28/06/2007 per quanto riguarda la parte geotecnica. Per quanto riguarda la situazione geologica e geomecanica con le relative verifiche deve essere considerato quanto esposto nella precedente relazione.

Nella Carta Tecnica Provinciale di scala 1:5.000 della Provincia Autonoma di Bolzano - Alto Adige l'area si trova nel Foglio 08082 e nella carta topografica di scala 1:25.000 nel Foglio 4B-IV-SW e 4B-IV-NW.

2 INDAGINI GEOGNOSTICHE

A fine di ottenere dati significativi circa le caratteristiche del sottosuolo dell'area in esame sono state eseguite 2 prove penetrometriche dinamiche tipo DPH (spinte sino ad una profondità di 9,8 e 9,3 metri dal piano campagna attuale) e si sono fatti eseguire 2 scavi geognostici (spinti sino ad una profondità di 3,5 e 3,0 metri dal p.c. attuale). La localizzazione delle indagini è riportata in Allegato 2 e in Allegato 3.

2.1 PROVE PENETROMETRICHE DINAMICHE

Per l'esecuzione delle prove penetrometriche DPH si è utilizzato il penetrometro dinamico DeepDrill, con maglio da 50 Kg ed altezza di

Höhe von 50 cm verwendet, welche der Klasse DPH (schwere Rammsonde) nach der DIN 4094 (D) entspricht. Dieselbe Klasse ergibt sich dafür auch nach der ISSMFE-Klassifikation (I) und dem EUROCODE 7 (EU).

Der Versuch besteht darin eine genormte Spitz mittels einem Schlagsystem (Gewicht) über ein Gestänge in den Boden einzurammen.

Der Widerstand des Untergrundes wird im Feld mittels der Schlagzahl ermittelt, die notwendig ist, die Spitz 10 cm in den Boden einzurammen (N_{10}). Die Messungen erfolgen durchgehend bis in die betreffende Untersuchungstiefe oder bis zum Versagen ($N_{10} > 50$ Schläge).

2.1.1 Interpretation der Daten

Die Interpretation der Ergebnisse, in Folge einer vorläufigen Korelation der N_{10} -Werte mit N_{SPT} -Werten erlaubt, mittels empirischer Korrelationen nach verschiedenen Autoren eine Auswertung der Stratigraphie und der geotechnischen Parameter des Untergrundes.

Körnige Böden:

a) Bezuglich der Charakteristiken der Dichte des Untergrundes

Die relative Dichte der Schichten ($D_R\%$) wird auf Basis der von Terzaghi und Peck (1948, 1967) vorgeschlagenen Theorie ermittelt.

b) In Bezug auf die Parameter der Scherfestigkeit

Der Scherwiderstand wird entsprechend der von Peck e Hanson (1953, 1974) vorgeschlagenen Gleichung angegeben.

c) In Bezug auf die Parameter der Zusammendrückbarkeit

Der Verformungsmodul im dränierten Zustand des untersuchten Untergrundes wird mittels der Korellationen nach D'Apollonia (1970) und einer darausfolgernden Gleichung nach Schmertmann (für Feinsand $B=4$ Mittelsand $B=6$) ermittelt.

$$E(kg/cmq) = 2BNspt$$

caduta di 50 centimetri, e corrispondente alla classe DPH (pesante) secondo le norme DIN 4094 (D). Alla medesima classe risulta anche secondo la classificazione ISSMFE (I) e l'EUROCODICE 7 (CE).

La prova consiste nell'infiggere nel terreno una punta normata collegata al sistema di battuta (maglio) attraverso una batteria di aste.

La resistenza del terreno viene misurata in campagna tramite il numero di colpi necessario ad infiggere la punta per 10 centimetri (N_{10}). Le misure vengono effettuate in continuo sino alle profondità di interesse o sino a rifiuto ($N_{10} > 50$ colpi).

2.1.1 Interpretazione dei dati

L'interpretazione dei risultati, a seguito di preliminare correlazione dei valori di N_{10} con valori di N_{SPT} , permette di ottenere, attraverso correlazioni empiriche proposte da diversi Autori, una valutazione della stratigrafia e dei parametri geotecnici del sottosuolo.

Terreni granulari:

a) Relativamente alle caratteristiche di addensamento dei terreni

La densità relativa dei terreni ($D_R\%$) viene valutata sulla base delle correlazioni proposte da Terzaghi e Peck (1948, 1967).

b) Relativamente ai parametri di resistenza al taglio

La resistenza al taglio viene valutata per mezzo delle relazioni proposte da Peck e Hanson (1953, 1974).

c) Relativamente ai parametri di compressibilità

Il modulo di deformazione drenato dei terreni in esame è stato valutato utilizzando le correlazioni proposte da D'Apollonia (1970) e la seguente correlazione proposta da Schmertmann (per sabbie fini $B=4$; sabbie medie $B=6$)

$$E(kg/cmq) = 2BNspt$$

Kohäsive Böden:

a) Im Bezug auf den Widerstand des Bodens

Die undränierte Kohäsion wird mittels der Gleichungen nach Terzaghi und Peck (1948, 1967) bestimmt.

b) Bezüglich des Indexes der Zusammendrückbarkeit

Trotz der Ungenauigkeit einer Abschätzung des Elastizitätsmoduls für kohäsive Böden erfolgt dieselbe jedenfalls basierend auf der Gleichung nach Stroud und Butler für Tone mit einer geringen Plastizität:

$$E_d (\text{kg} / \text{cmq}) = 6N_{spt}$$

In Anlage 5 sind die Tabellen zur Interpretation der Daten aus den Penetrometerversuchen dargestellt.

3 GEOTECHNISCHE DARSTELLUNG DES UNTERGRUNDES

Im Anschluss an die durchgeführten Untersuchungen ergab sich für das Untersuchungsgebiet eine heterogene und variable stratigraphische Abfolge.

- * Im bergseitigen Bereich gibt es eine weitflächige Blockhalde, welche sowohl oberflächlich als auch im Schurf S1 bis in eine Tiefe von 3 m kartiert werden konnte. Die Blöcke erreichen Volumina bis zu etwa 1 m³. Sie sind in eine sandig-schluffige Matrix eingebettet. Diesen Ablagerungen können sicherheitshalber folgende geotechnische Parameter zugeteilt werden:

Terreni coesivi:

a) Relativamente ai parametri di resistenza

La coesione non drenata viene valutata per mezzo delle relazioni proposte da Terzaghi e Peck (1948, 1967).

b) Relativamente ai parametri di compressibilità

Considerando l'incertezza della stima del modulo edometrico per terreni coesivi si fornisce in ogni caso una stima sulla base della seguente relazione proposta da Stroud e Butler per argille di bassa plasticità:

$$E_d (\text{kg} / \text{cmq}) = 6N_{spt}$$

In Allegato 5 sono riportati i tabulati di interpretazione dei dati relativi alle prove penetrometriche eseguite.

3 SCHEMATIZZAZIONE GEOTECNICA DEL SOTTOSUOLO

A seguito delle indagini eseguite è risultata una stratigrafia dell'area decisamente variabile ed eterogenea.

- * Nella parte verso monte è presente un esteso accumulo di blocchi, rilevabile in superficie e rilevato anche nello scavo S1 per tutti i 3 metri investigati in profondità. I blocchi e massi presentano volumi sino a circa 1 metro cubo. Questi sono immersi in una matrice di natura sabbioso limosa. A questi depositi è possibile assegnare i seguenti parametri geotecnici cautelativi:

| | | |
|--|------------------------|------------------------|
| Densità naturale del terreno (γ_n) | 2,00 t/m ³ | 20,0 KN/m ³ |
| Natürliche Dichte des Untergrundes (γ_n) | | |
| Angolo di attrito (ϕ) / Reibungswinkel (ϕ) | 45° | 45° |
| Coesione (Cu) / Kohäsion (Cu) | 0 Kg/cm ² | 0 KPa |
| Modulo Elastico (E) / Elastizitätsmodul (E) | 600 Kg/cm ² | 60 MPa |

Was den talseitigen Bereich, ausgehend von der Zufahrtsstraße betrifft, treten alluviale Ablagerungen mit hauptsächlich schluffiger Zusammensetzung auf. Die stratigraphische Abfolge ist im Baggerschurf 2 und in den

Per quanto riguarda la zona verso valle, approssimativamente a partire dalla stradina di servizio, sono presenti depositi alluvionali costituiti in prevalenza da limi. La successione stratigrafica ivi presente è stata

Rammsondierungen P1 und P2 erhoben worden. Sie kann wie folgt zusammengefasst werden:

- * Ausgehend von GOK, nach einer Schicht aus Aufschüttungsmaterial von nur wenigen Dezimetern und bis in eine Tiefe von etwa 3,0 (P2) und 3,4 (P1) m finden sich hauptsächlich sandige, lokal tonreiche und wenig plastische Schluffe mit Horizonten aus Feinsand und mit organischen Anteilen. Sie weisen einen geringen Verdichtungsgrad auf. Besagten Ablagerungen können folgende durchschnittliche geotechnische Parameter zugewiesen werden:

rilevata nello scavo S2 e nelle prove penetrometriche P1 e P2. Questa può essere schematizzata come segue:

- * A partire dal piano campagna, dopo uno strato di riporto di pochi decimetri, e sino alla profondità di circa 3,0 (P2) e 3,4 (P1) metri di profondità sono presenti in prevalenza limi sabbiosi, localmente argillosi e poco plastici, con livelli di sabbie fini e livelli con materiale organico. Il grado di addensamento di questo deposito è risultato basso. A questi depositi è possibile assegnare i seguenti parametri geotecnici medi:

| | | |
|--|-----------------------|------------------------|
| Densità naturale del terreno (γ_n) | 1,80 t/m ³ | 18,0 KN/m ³ |
| Natürliche Dichte des Untergrundes (γ_n) | | |
| Angolo di attrito (ϕ) / Reibungswinkel (ϕ) | 27° | 27° |
| Coesione (Cu) / Kohäsion (Cu) | 0 Kg/cm ² | 0 KPa |
| Modulo Elastico (E) / Elastizitätsmodul (E) | 50 Kg/cm ² | 5 MPa |

- * Unterhalb der vorhergehenden Schicht und bis in eine Tiefe von etwa 10 m unter GOK, ausgenommen der in Folge beschriebenen Schicht, treten hauptsächlich sandige Schluffe mit einem mäßigen Verdichtungsgrad auf. Diesen Ablagerungen können folgende durchschnittliche geotechnische Parameter zugewiesen werden:

- * Al di sotto dello strato precedente e sino alla profondità investigata di circa 10 metri dal p.c., a parte il livello indicato a seguire, sono presenti in prevalenza limi sabbiosi con un grado di addensamento medio. A questi depositi è possibile assegnare i seguenti parametri geotecnici medi:

| | | |
|--|------------------------|------------------------|
| Densità naturale del terreno (γ_n) | 1,90 t/m ³ | 19,0 KN/m ³ |
| Natürliche Dichte des Untergrundes (γ_n) | | |
| Angolo di attrito (ϕ) / Reibungswinkel (ϕ) | 30° | 30° |
| Coesione (Cu) / Kohäsion (Cu) | 0 Kg/cm ² | 0 KPa |
| Modulo Elastico (E) / Elastizitätsmodul (E) | 135 Kg/cm ² | 13,5 MPa |

- * Innerhalb des vorhergehenden Schichtpaketes, in einer Tiefe zwischen 6,7 und 8,2 m in S1 und zwischen 6,1 und 7,5 m in S2, gibt es einen hauptsächlich sandigen und gut verdichteten Boden mit Kiesen. Ablagerungen können folgende durchschnittliche geotechnische Parameter zugewiesen werden:

- * Entro lo strato precedente, a profondità comprese tra 6,7 e 8,2 metri in S1 e tra 6,1 e 7,5 metri in S2, sono presenti terreni prevalentemente sabbiosi e con ghiaie, e ben addensati. A questi depositi è possibile assegnare i seguenti parametri geotecnici medi:

| | | |
|--|------------------------|------------------------|
| Densità naturale del terreno (γ_n) | 1,90 t/m ³ | 19,0 KN/m ³ |
| Natürliche Dichte des Untergrundes (γ_n) | | |
| Angolo di attrito (ϕ') / Reibungswinkel (ϕ') | 33° | 33° |
| Coesione (c') / Kohäsion (c') | 0 Kg/cm ² | 0 KPa |
| Modulo Elastico (E) / Elastizitätsmodul (E) | 300 Kg/cm ² | 30 MPa |

Von großer Bedeutung ist der Grundwasserspiegel, dessen Schwankungen vom Bachlauf in unmittelbarer Nähe, talseitig der Zufahrtsstraße verläuft. Zum Zeitpunkt der Untersuchungen, am 3/07/2007, entspricht der Wasserstand jenem des Bachlaufes mit einer Tiefe von etwa 1,5 m unter GOK der Zufahrtsstraße.

Die oben genannte stratigraphische Abfolge ist in den geologisch-geotechnischen Profilschnitten in der Anlage 6 graphisch dargestellt.

4 GEOTECHNISCHE BEURTEILUNG

Im Untersuchungsgebiet ist der Bau eines Speicherbeckens geplant. Im Hinblick auf die geologischen und geomechanischen Eigenschaften wird auf den betreffenden Bericht vom 28/6/2007 verwiesen.

Was die geotechnischen Problemstellungen betrifft, muss auf die mangelnde Homogenität des Untergrundes hingewiesen werden, wie sie im vorhergehenden Kapitel beschrieben und in den Profilschnitten in der Anlage 6 gemeinsam mit dem betreffenden Speicherbecken dargestellt ist.

Daraus ergibt sich, dass der Speicher zum Gutteil auf einem grobblockigen Untergrund in einer sandig-schluffigen Matrix, charakterisiert von guten geotechnischen Eigenschaften erstellt werden soll.

Der talseitige Bereich liegt auf alluvialen Ablagerungen, welche hauptsächlich aus Schluffen bestehen. Bis in eine Tiefe von etwa 3,0 - 3,4 m sind diese von schlechten geotechnischen Eigenschaften gekennzeichnet, welche sich in der Tiefe deutlich verbessern.

Unter Berücksichtigung dessen und um große differenzierte Setzungen zwischen der Berg- und der Talseite des geplanten Gebäudes zu vermeiden, soll oberflächlich, im Bereich der schlechtesten Materialien in einer Mächtigkeit von ca. 3,0 – 3,4 m eine Bodenverbesserung durchgeführt werden.

Di particolare rilevanza è la falda acquifera il cui livello è regolato dal rio che scorre nelle immediate vicinanze, a valle della strada di servizio. Alla data delle indagini, 3/7/2007, il livello è risultato il medesimo del rio, a ca. 1,5 metri di profondità dal piano campagna della stradina di servizio.

La situazione stratigrafica sopra descritta è riportata graficamente nelle sezioni geologiche geotecniche in Allegato 6.

4 VERIFICHE GEOTECNICHE

Nell'area in esame è prevista la realizzazione di un serbatoio. Per le problematiche di carattere geologico e geomeccanico si rimanda a quanto riportato nella specifica relazione del 28/6/2007.

Per quanto riguarda le problematiche geotecniche è da segnalare la disomogeneità descritta nel capitolo precedente e graficamente rappresentata nelle sezioni in Allegato 6, unitamente alla posizione del serbatoio in oggetto.

Da queste risulta che per buona parte il serbatoio si troverà su di un substrato composto da grossi blocchi e massi in matrice sabbioso limosa e dotato di buone caratteristiche geotecniche.

La parte di valle si troverà su terreni alluvionali, composti prevalentemente da limi. Sino alla profondità di circa 3,0 - 3,4 metri le caratteristiche geotecniche di questi sono scarse, in approfondimento si ha un sensibile miglioramento.

In considerazione di ciò, al fine di evitare l'insorgenza di sedimenti differenziali elevati tra la parte posteriore e la parte anteriore della struttura in progetto, risulta opportuna la bonifica della porzione superficiale più scadente, di circa 3,0 - 3,4 metri di spessore. Questa dovrà essere eseguita con la messa

Dazu muss körniges Material (AASHO-Klassifikation vom TYP A-1-a oder A-1-b) eingebaut werden, welches mittels einer Vibrationswalze in Schichten verdichtet wird.

In Folge dieser Maßnahmen können für den vorliegenden Boden folgende geotechnische Parameter $\phi=33^\circ$; $E=30\text{ MPa}$ als gültig angenommen werden. In den folgenden Nachweisen wurden die oben angegebene Bodenverbesserung und diese geotechnischen Eigenschaften berücksichtigt.

Es ist schließlich angemessen, eine homogene Basisschicht im Bereich der gesamten Gründungsfläche einzurichten, welche aus einem mit einer Vibrationswalze verdichteten Kiesbett besteht. Dadurch können eventuelle Hohlräume im Bereich großdimensionaler Blöcke ausgeglichen werden.

Weiters wird der Grundwasserspiegel berücksichtigt, welcher vom Niveau des nahe liegenden Baches geregelt wird und in einer Tiefe von etwa 1,5 m unter GOK im Bereich der Zufahrtsstraße gemessen worden ist.

4.1 TRAGFÄHIGKEITSBERECHNUNGEN

Die Grenztragfähigkeit des Untergrundes der Gründungen wird mittels der Berechnungsmethode von BRINCH-HANSEN bestimmt:

in opera di materiale di natura granulare (classificazione AASHO tipo A-1-a o A-1-b) addensato per strati tramite rullo vibrante al fine di assicurarne la compattazione.

A seguito di tale intervento per questi terreni è possibile considerare validi i seguenti parametri geotecnici: $\phi=33^\circ$; $E=30\text{ MPa}$. Nelle verifiche a seguire si è considerata la bonifica sopra indicata e tali caratteristiche geotecniche.

Risulta poi opportuno predisporre uno strato di base omogeneo per tutto il piano fondazionale costituito da un letto di terreno granulare magro, addensato con rullo vibrante. Ciò al fine di riempire gli eventuali vuoti possibili nella zona caratterizzata dalla presenza di grossi massi.

Da considerare inoltre la presenza della falda, regolata dal livello del vicino rio, rilevata ad una profondità di 1,5 metri dal piano campagna della stradina di servizio.

4.1 CALCOLO DELLA CAPACITÀ PORTANTE

La capacità portante limite del terreno di fondazione viene valutata utilizzando il seguente metodo di calcolo proposto da BRINCH-HANSEN:

$$q_{lim} = D N_q s_q d_q + 0,5 \gamma B N_\gamma s_\gamma d_\gamma + c N_c s_c d_c$$

essendo / wobei :

| | |
|------------------------------|--|
| γ = | densità del terreno / Dichte des Untergrundes |
| D = | incastro della fondazione / Einbindung der Gründungen |
| B = | dimensione minore della fondazione / minimale Größe der Gründungen |
| C = | coesione / Kohäsion |
| N_q ; N_γ ; N_c = | coefficienti di portanza / Tragfähigkeitskoeffizient |
| s_q ; s_γ ; s_c = | coefficienti di forma / Formkoeffizient |
| d_q ; d_γ ; d_c = | coefficienti di approfondimento / Tiefenkoeffizient |

Daher erhält man unter Annahme eines Sicherheitskoeffizienten, $F = 3$:

Considerando un coefficiente di sicurezza, F uguale a 3, si ottiene:

$$q_{amm} = q_{lim} / 3$$

Die Ergebnisse aus der Berechnung für Plattengründungen sind in der folgenden

I risultati dei calcoli per a platea, sono

Tabelle wiedergegeben:

riportati nella Tabella a seguito:

| stratigrafia di riferimento Referenzstratigraphie | L (m) | B (m) | D (m) | Q_{lim} (kPa) | Q_{amm} (kPa) | Q_{amm} (kg/cm ²) |
|--|-----------|-----------|----------|--------------------|--------------------|------------------------------------|
| Bergseitiger Bereich (grobkörniger Schutt) zona di monte (detrito grossolano) | 20 | 20 | 1,5 | > 1000 | > 300 | > 3,0 |
| P1, talseitiger Bereich (Schluffe, mit Bodenverbesserung) P1, zona di valle (limi, con bonifica) | 20 | 5 | 1,5 | 603 | 201 | 2,0 |

Der Grundwasserspiegel wurde in der problematischsten Situation, nämlich nahe GOK angenommen.

Si è considerata la falda nella posizione più penalizzante, prossima al piano campagna.

4.2 SETZUNGEN

Die Abschätzung der Setzungen erfolgt, um zu prüfen, dass die aufgebrachten Lasten, sicher im Hinblick auf Q_{lim} , keine, für das Bauwerk unzulässigen Bewegungen verursachen.

Die Setzungsberechnungen erfolgen unter Berücksichtigung einer Auflast im Gründungsbereich von etwa **1,2 Kg/cm²** (unter Berücksichtigung von 7 m Wasser entsprechend 0,7 Kg/cm², plus Gebäudestruktur und zeitweilige Zusatzlasten).

Für die Berechnung der Lastenverteilung bezieht man sich auf die Gleichungen nach Boussinesq. Die Setzung ergibt sich aus der Summe der Setzungen jeder „i“-ten Schicht, in welche die Abfolge ideell unterteilt wird:

4.2 CEDIMENTI

La stima dei cedimenti viene effettuata al fine di verificare che le pressioni applicate, in sicurezza rispetto alla Q_{lim} , non determinino movimenti inammissibili per le strutture in elevazione.

I calcoli dei cedimenti sono stati effettuati valutando un carico gravante sul piano di fondazione pari a ca. **1,2 Kg/cm²** (considerando 7 metri di acqua pari a 0,7 Kg/cm², più struttura e carichi accidentali).

Per il calcolo della distribuzione dei sovraccarichi si sono utilizzate le equazioni di Boussinesq. Il cedimento è dato dalla somma dei cedimenti di ciascuno strato i-esimo 'i' in cui vengono idealmente suddivisi gli strati:

$$S = \sum_{i=1}^n m_{Vi} \Delta \sigma_{Vi} H_i$$

essendo / wobei : $S =$

entità del cedimento / Ausmaß der Setzung

$\Delta \sigma_{Vi} =$

incremento di tensione verticale indotto nello strato i-esimo 'i' /

Anstieg der Vertikalspannung in der "i"-ten Schicht

$m_{Vi} = 1/E =$

coefficiente di compressibilità dello strato i-esimo 'i'

$H_i =$

Zusammendrückbarkeitskoeffizient der "i"-ten Schicht

spessore dello strato iesimo 'i' / Mächtigkeit der "i"-ten Schicht

Es wurden Setzungen bis in eine Tiefe von 12 Meter von der derzeitigen GOK berücksichtigt, wo die folgende Gleichung erfüllt ist.

Si sono considerati cedimenti sino alla profondità di 12 metri dal piano campagna attuale ove si raggiunge la condizione esposta sotto.

$$\Delta \sigma_{Vi} < 0,2 p_V$$

essendo / wobei : $\Delta \sigma_v =$

$\rho_v =$

incremento di tensione verticale indotto nello strato iesimo 'Y'

Anstieg der Vertikalspannung in der "Y"-ten Schicht

tensione litostatica efficace alla medesima quota

wirksamer lithostatischer Druck auf derselben Kote

Die Ergebnisse aus den Setzungsberechnungen werden in der Anlage 8 wiedergegeben und sind in folgender Tabelle zusammengefasst.

I risultati di calcolo dei sedimenti sono riportati in Allegato 8 ed esposti nella tabella a seguire.

| stratigrafia di riferimento Referenzstratigraphie | tipologia fondazione Gründungsart | L | B | Piano di posa Gründungs- fläche | $Q_{applicata}$ $Q_{angewandte}$ | Cedimento massimo größte Setzungen |
|---|---|-----------|-----------|---------------------------------------|-------------------------------------|--|
| | | (m) | (m) | (m) | (kPa) | (cm) |
| Bergseitiger Bereich (grobkörniger Schutt) zona di monte (detrito grossolano) | Platea/Platte | 20 | 20 | - 1,5 | 120 | 1,1 |
| P1, talseitiger Bereich (Schluffe, mit Bodenverbesserung) P1, zona di valle (limi, con bonifica) | Platea/Platte | 20 | 5 | - 1,5 | 120 | 2,4 |

Die vorhersehbaren Setzungen für das Untersuchungsgebiet liegen unterhalb der Grenzwerte nach Bowles (1991) und gelten demnach als zulässig.

Aufgrund der Steife der Gründungsstruktur in Hinblick auf die unterschiedlichen Auflagerungsmaterialien aus dem Kapitel 4.3 wird der Winkler'sche Modul wiedergegeben.

Weiters wird unterstrichen, dass unter Berücksichtigung der Vergütung der oberflächlichen Schicht mit schlechten geotechnischen Eigenschaften, die Setzungen innerhalb niedriger Werte liegen.

4.3 STEIFEMODUL (NACH WINKLER)

In der Folge wird eine Schätzung des Steife- oder Reaktionsmoduls oder des Gründungskoeffizienten K angegeben. In der Strukturanalyse wird dieses Modul nämlich häufig angewandt, welches den angebrachten Druck direkt mit den Setzungen verbindet.

Es muss auf alle Fälle unterstrichen werden, dass kein linearer Zusammenhang zwischen Auflasten und Setzungen gegeben ist und dass dieser Parameter nicht eine Charakteristik des Untergrunds ist. Dieser hängt nämlich von verschiedenen Faktoren ab: neben der Stratigraphie, die von den Lasten beeinflusst wird, auch von der Geometrie der Gründung und von der Belastungsstufe. Der Zusammenhang zwischen Auflast und

I sedimenti prevedibili per il sito in esame risultano inferiori ai valori limite indicati da Bowles (1991) e di conseguenza sono da considerare ammissibili.

Per la rigidità da assegnare alla struttura fondazionale in rapporto alle differenti zone di appoggio nel paragrafo 4.3 si riportano i Moduli di Winkler.

Si sottolinea ancora che i sedimenti sono risultati contenuti entro bassi valori considerando la bonifica dello strato superficiale con scarse caratteristiche geotecniche.

4.3 MODULO DI WINKLER

A seguito si fornisce la stima del Modulo di Winkler o modulo di reazione o coefficiente di sottofondo K. Nell'analisi strutturale si fa difatti largo uso di tale modulo che lega direttamente la pressione applicata ai sedimenti.

Occorre ad ogni modo sottolineare che non vi è linearità tra carichi applicati e sedimenti e che tale parametro non è una caratteristica del terreno, esso dipende infatti da diversi fattori, oltre che dalla stratigrafia interessata dai carichi anche dalla geometria della fondazione e dal livello di carico. La relazione tra carico applicato e sedimenti non è difatti

Setzungen ist nicht linear.

Eine signifikante Schätzung des Gründungskoeffizienten, welche für die untersuchten Gründungsart und die festgesetzten Belastungsstufen als gültig angesehen werden, wird durch die Anwendung der Gleichung von Bowles (1988) auf Basis der im vorhergehenden Kapitel bestimmten Lasten und Setzungen durchgeführt.

lineare.

Una significativa stima del coefficiente di sottofondo, da ritenersi valida per le tipologie fondazionali verificate e per i livelli di carichi imposti, viene effettuata utilizzando la relazione proposta da Bowles (1988) sulla base dei carichi e dei sedimenti definiti nei paragrafi precedenti.

| stratigrafia di riferimento Referenzstratigraphie | Fondazione Gründung | Livello di carico Belastungsstufe (Kpa) | sedimento Setzungen (cm) | Modulo di Winkler Modul von Winkler (Kg/cm ³) | Modulo di Winkler Modul von Winkler (KN/m ³) |
|--|------------------------|---|--------------------------------|---|--|
| Bergseitiger Bereich (grobkörniger Schutt) zona di monte (detrito grossolano) | Platea / Platte | 120 | 1,1 | 3,6 | 36.000 |
| P1, talseitiger Bereich (Schluffe, mit Bodenverbesserung) zona di valle (limi, con bonifica) | Platea / Platte | 120 | 2,4 | 1,5 | 15.000 |

4.4 KURZFRISTIGE STABILITÄT DER AUSHUBBÖSCHUNGEN

Hinsichtlich der kurzfristigen Stabilität wird nachfolgend der Böschungswinkel berechnet, mit dem die Lockermaterialböschung versehen werden muss.

Für den bergseitigen Bereich, der Blockhalde kann, wie bereits im Gutachten vom 28/06/2007 angegeben, ein Böschungswinkel von etwa 45 – 50° mit einer Kontrolle der Stabilität der Einzelblöcke angenommen werden.

Im Hinblick auf den talseitigen Bereich mit den sandigen Schluffen wird in Anbetracht der kurzen Öffnung der Baugrube und der vorhandenen Feinfraktion ein Kohäsionswert von 10 KPa angegeben, dessen Gültigkeit nur kurzfristig anzusehen ist.

In Abhängigkeit der Werte des Reibungswinkels, Kohäsion und Wichte und durch ihre Korrelation untereinander, erhält man mittels eines von Hoek & Bray vorgeschlagenen Abacus den Wert, der dem Böschungswinkel zugeteilt werden muss. Er ist in der folgenden Tabelle wiedergegeben.

4.4 STABILITÀ A BREVE TERMINE DEI FRONTI DI SCAVO

Per quanto riguarda la stabilità nel breve termine si valuta a seguito l'angolo da assegnare alle pareti di scavo detritiche.

Per la zona di monte dell'accumulo di blocchi, come già indicato nella relazione del 28/6/07, si potrà assegnare un angolo di scarpa di ca. 45 - 50°, con controllo della stabilità dei singoli massi.

Per quanto riguarda la zona di valle, con limi sabbiosi, in considerazione del breve tempo di apertura e della presenza di frazione fine, si è assegnato un valore di coesione di 10 KPa, valido solo nel breve termine.

In rapporto ai valori di angolo di attrito, coesione e peso di volume dei materiali e correlando i valori ottenuti, a mezzo di un abaco proposto dagli stessi Hoek & Bray, si ottiene il valore da poter assegnare all'angolo di scarpa, riportati nella tabella a seguire.

| Profondità scavo Aushubtiefen | Peso di volume γ | angolo di attr. medio Reibungs- winkel | Coesione Kohäsion | coeff. di sicurezza Sicherheits- koeffizient | | | | angolo di scarpa Böschungs- winkel |
|----------------------------------|-------------------------------|---|----------------------|---|-------------------|----------------------------|---------------|---|
| H (m) | (KN/m ³) | ϕ' (°) | c' (KPa) | F | $\text{tg}\phi/F$ | $c/\gamma H \text{tg}\phi$ | $c/\gamma HF$ | (°) |
| 3,5 | 18 | 27 | 10 | 1,3 | 0,39 | 0,295 | 0,116 | 60 |

Für Aushubarbeiten bis in 3,5 m unter derzeitiger GOK kann ein Böschungswinkel von 60° angegeben werden. Diese Beurteilungen gelten nur im trockenen Zustand, da der Grundwasserspiegel bereits vorhergehend auf Aushubsniveau abgesenkt werden muss.

Per scavi approfonditi sino a 3,5 m. dal piano campagna attuale sarà possibile assegnare un angolo di scarpa sino a 60°. Le verifiche sono relative ad una situazione senza falda, questa infatti dovrà essere preventivamente abbassata oltre la quota di scavo.

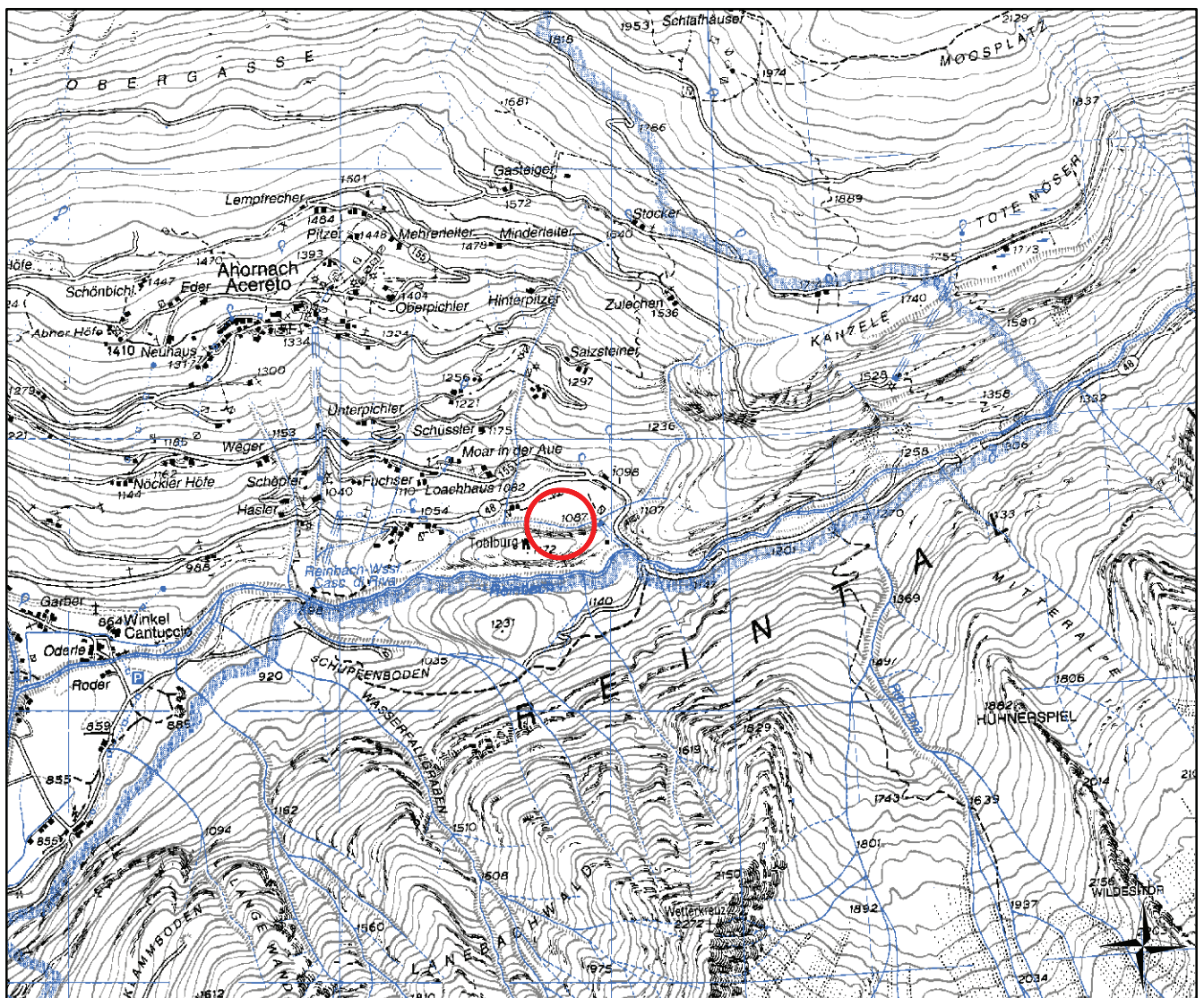
Das vorliegende Gutachten entspricht den Forderungen des M.D.11/03/1988 und stellt damit ein geeignetes, projektbezogenes Dokument zum Erlass der Baukonzession dar.

La presente relazione ottiene a quanto stabilito dal D.M.11/03/1988 e costituisce un documento progettuale idoneo per il rilascio della concessione ad edificare.

Bozen / Bolzano 16/07/2007

CHOROGRAPHIE
CROGRAFIA

Maßstab / scala 1:25.000



Auszug aus der topographischen Grundkarte der Provinz im Maßstab 1:25.000
Blatt 4B-IV-SW und 4B-IV-NW
stralcio da carta topografica della provincia in scala 1:25.000
Foglio 4B-IV-SW e 4B-IV-NW

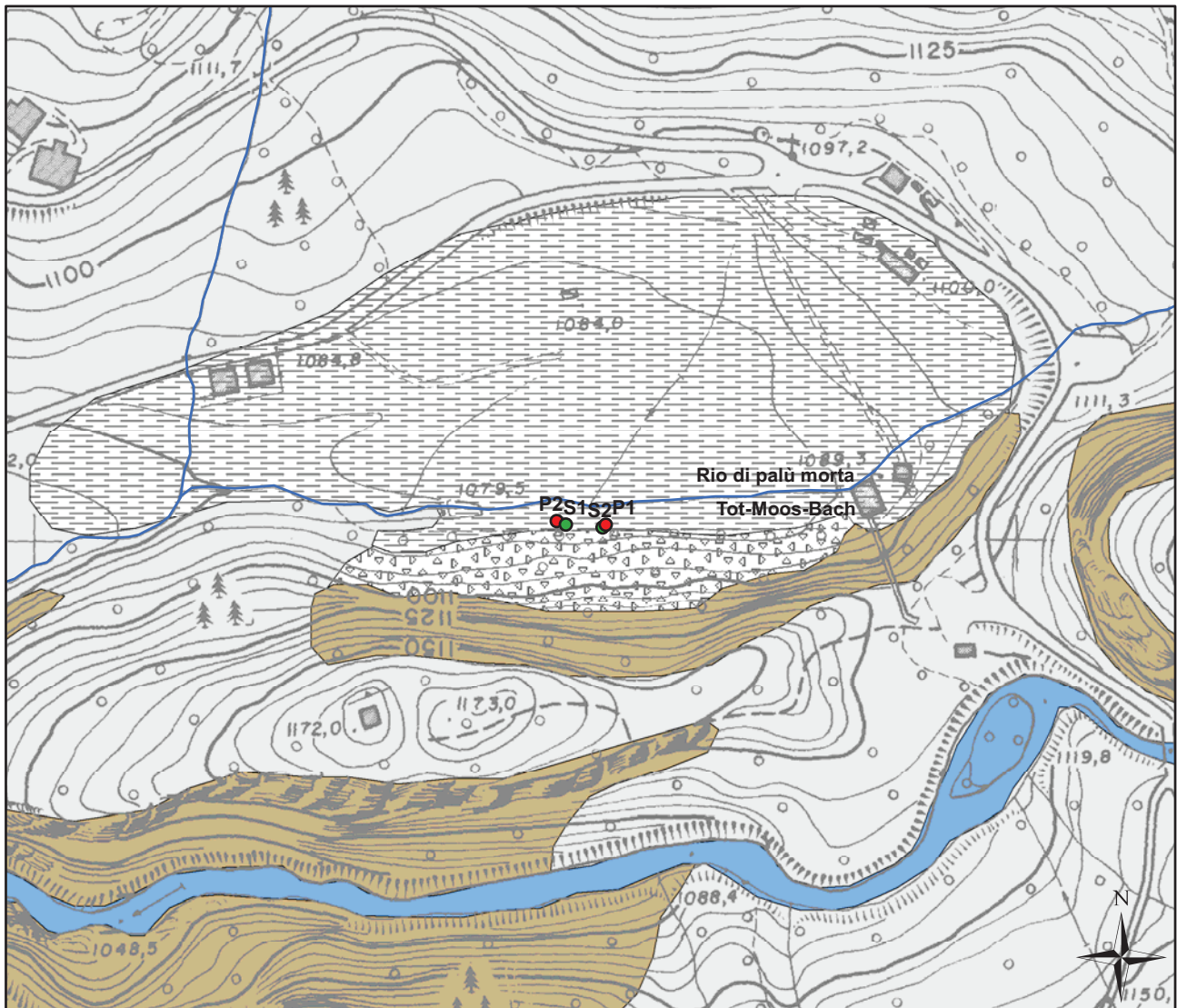
GEMEINDE SAND IN TAUFRS
COMUNE DI CAMPO DI TURES



Lage des Interessensgebietes
Ubicazione dell'area in esame

GEOLOGISCHE KARTE
CARTA GEOLOGICA

Maßstab / scala 1:5.000

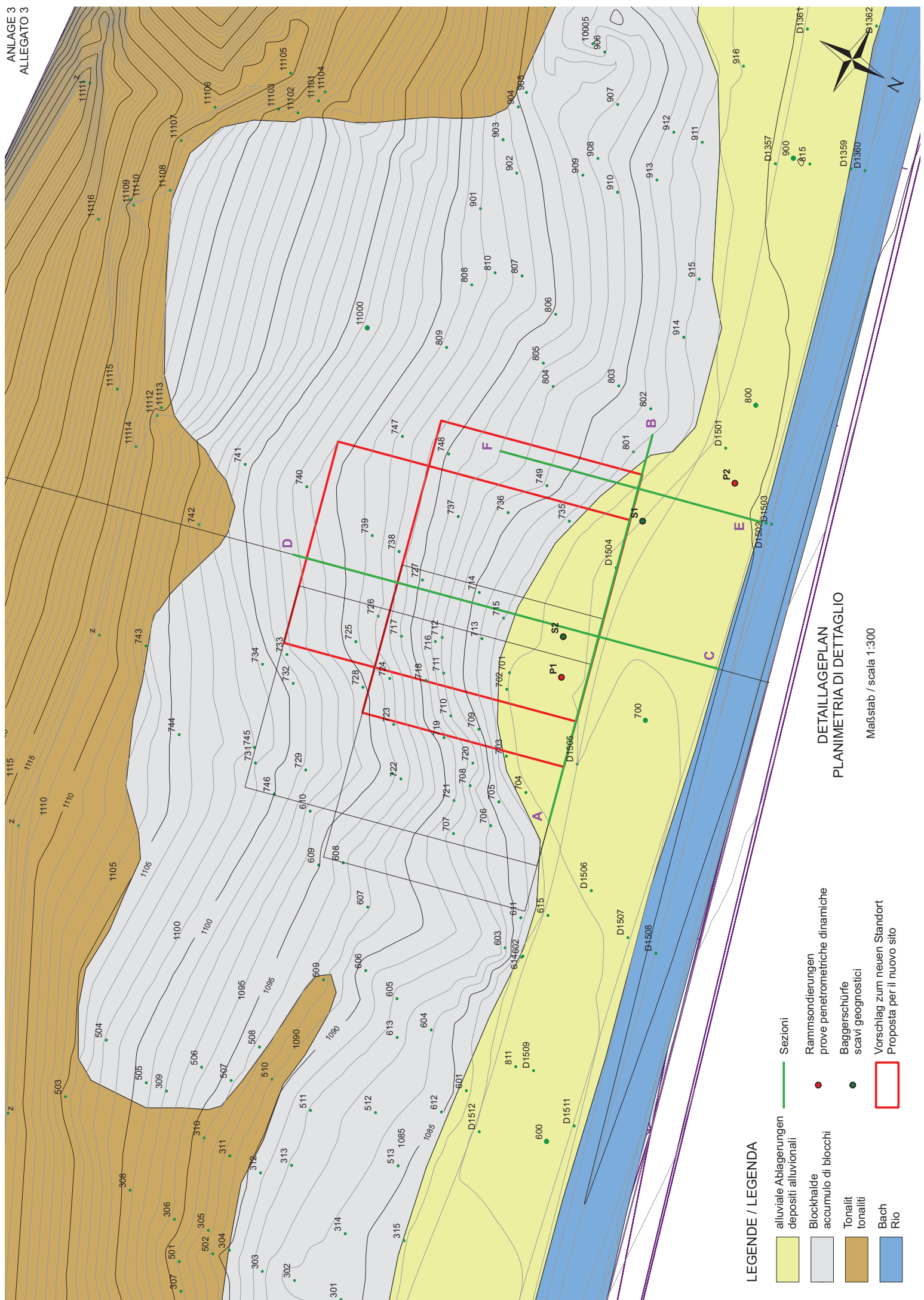


LEGENDE / LEGENDA

- Blockhalde
accumulo di blocchi
- Hangschuttablagerungen
detrito di versante
- Iakustrine Ablagerungen
depositi lacustri
- Tonalite (Rieserferner Pluton)
Tonaliti (Plutone delle vedrette di Ries)
- Gneis
gneiss
- Reinbach
Rio di Riva
- Rammsondierungen
prove penetrometriche dinamiche
- Baggertschürfe
scavi geognostici

Auszug aus der technischen Grundkarte der Provinz im Maßstab 1:5.000
Blatt 08082

stralcio da carta tecnica della provincia in scala 1:5.000
Foglio 08082

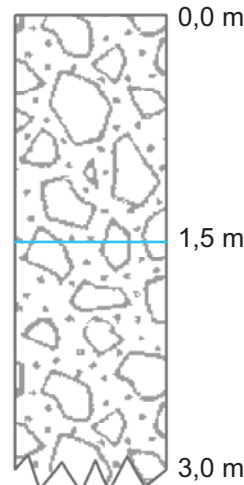


DOKUMENTATION DER BAGGERSCHÜRFE
DOCUMENTAZIONE DEGLI SCAVI GEOGNOSTICI

S 1

Blöcke mit Maximal-
durchmesser 1qm
in sandig-schluffiger
Matrix
blocchi e massi
diametro max 1 mc
in matrice sabbiosa
e limosa

Grundwassr
falda



Maßstab / scala 1:50



Foto des Schurfs
foto dello scavo



Foto des Materials
foto del materiale

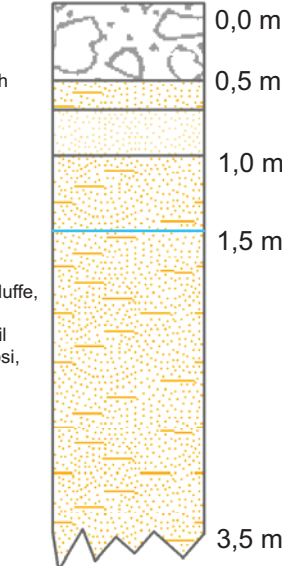
S 2

Gerölle mit Blöcken in
sandig-schluffiger Matrix
ciottoli con blocchi in
matrice sabbiosa e limosa

sandige Schluffe, wenig plastisch
limi sabbiosi, poco palstici

Feinsande
sabbie fini

Grundwassr
falda



Maßstab / scala 1:50



Foto des Schurfs
foto dello scavo



Foto des Materials
foto del materiale

DYNAMISCHE RAMMSONDIERUNGEN (DPH)

PROVE PENETROMETRICHE DINAMICHE (DPH)

PENETROMETRO DINAMICO IN USO : DPH - DeepDrill

| Classificazione ISSMFE (1988) dei penetrometri dinamici | | |
|---|--------------------|--------------------------|
| TIPO | Sigla Certificato | Massa Battente M (kg) |
| Leggero | DPL (Light) | $M \leq 10$ |
| Medio | DPM (Medium) | $10 < M < 40$ |
| Pesante | DPH (Heavy) | $40 \leq M < 60$ |
| Super pesante | DPSH (Super Heavy) | $M \geq 60$ |

CARATTERISTICHE TECNICHE : DPH - DeepDrill

| | |
|-------------------------------------|---|
| MASSA BATTENTE | M = 50,00 kg |
| ALTEZZA CADUTA LIBERA | H = 0,50 m |
| MASSA SISTEMA BATTUTA | Ms = 18,00 kg |
| DIAMETRO PUNTA CONICA | D = 43,70 mm |
| AREA BASE PUNTA CONICA | A = 15,0000 cm ² |
| ANGOLO APERTURA PUNTA | α = 90 ° |
| LUNGHEZZA DELLE ASTE | La = 0,90 m |
| MASSA ASTE PER METRO | Ma = 6,30 kg |
| PROF. GIUNZIONE 1 ^a ASTA | P1 = 0,70 m |
| AVANZAMENTO PUNTA | δ = 0,10 m |
| NUMERO DI COLPI PUNTA | N = N(10) ⇒ Relativo ad un avanzamento di 10 cm |
| RIVESTIMENTO / FANGHI | SI |
| RENDIMENTO SPECIFICO x COLPO | $Q = (MH)/(A\delta) = 16,67 \text{ kg/cm}^2$ (prova SPT : Qspt = 7,83 kg/cm ²) |
| COEFF.TEORICO RENDIMENTO | $\beta_t = Q/Qspt = 2,129$ (teoricamente : Nspt = $\beta_t N$) |

Valutazione resistenza dinamica alla punta Rpd [funzione del numero di colpi N] (FORMULA OLANDESE) :

$$Rpd = M^2 H / [A e (M+P)] = M^2 H N / [A \delta (M+P)]$$

Rpd = resistenza dinamica punta [area A]
e = infissione per colpo = δ / N M = massa battente (altezza caduta H)
P = massa totale aste e sistema battuta

UNITA' di MISURA (conversioni)

1 kg/cm² = 0.098067 MPa ≈ 0,1 MPa
 1 MPa = 1 MN/m² = 10.197 kg/cm²
 1 bar = 1.0197 kg/cm² = 0.1 MPa
 1 kN = 0.001 MN = 101.97 kg

PROVA PENETROMETRICA DINAMICA

TABELLE VALORI DI RESISTENZA

DIN 1

- committente :

- lavoro :

- località : Campo Tures

- data prova : 03/07/2007

- quota inizio : 1

- prof. falda : 1,50 m da quota inizio

- data emiss. : 10/07/2007

- note :

| Prof.(m) | N(colpi p) | Rpd(kg/cm ²) | asta | Prof.(m) | N(colpi p) | Rpd(kg/cm ²) | asta |
|-------------|------------|--------------------------|------|----------|-------------|--------------------------|-------|
| 0,00 - 0,10 | --- | --- | | 1 | 4,90 - 5,00 | 3 | 24,5 |
| 0,10 - 0,20 | --- | --- | | 1 | 5,00 - 5,10 | 4 | 32,7 |
| 0,20 - 0,30 | --- | --- | | 1 | 5,10 - 5,20 | 5 | 40,8 |
| 0,30 - 0,40 | --- | --- | | 1 | 5,20 - 5,30 | 6 | 46,4 |
| 0,40 - 0,50 | --- | --- | | 1 | 5,30 - 5,40 | 8 | 61,9 |
| 0,50 - 0,60 | --- | --- | | 1 | 5,40 - 5,50 | 6 | 46,4 |
| 0,60 - 0,70 | --- | --- | | 1 | 5,50 - 5,60 | 5 | 38,7 |
| 0,70 - 0,80 | --- | --- | | 2 | 5,60 - 5,70 | 4 | 31,0 |
| 0,80 - 0,90 | --- | --- | | 2 | 5,70 - 5,80 | 4 | 31,0 |
| 0,90 - 1,00 | --- | --- | | 2 | 5,80 - 5,90 | 4 | 31,0 |
| 1,00 - 1,10 | --- | --- | | 2 | 5,90 - 6,00 | 4 | 31,0 |
| 1,10 - 1,20 | 1 | 10,5 | | 2 | 6,00 - 6,10 | 5 | 38,7 |
| 1,20 - 1,30 | --- | --- | | 2 | 6,10 - 6,20 | 5 | 36,8 |
| 1,30 - 1,40 | 2 | 21,0 | | 2 | 6,20 - 6,30 | 6 | 44,1 |
| 1,40 - 1,50 | 3 | 31,5 | | 2 | 6,30 - 6,40 | 5 | 36,8 |
| 1,50 - 1,60 | 1 | 10,5 | | 2 | 6,40 - 6,50 | 5 | 36,8 |
| 1,60 - 1,70 | 2 | 19,6 | | 3 | 6,50 - 6,60 | 6 | 44,1 |
| 1,70 - 1,80 | 2 | 19,6 | | 3 | 6,60 - 6,70 | 5 | 36,8 |
| 1,80 - 1,90 | 1 | 9,8 | | 3 | 6,70 - 6,80 | 9 | 66,2 |
| 1,90 - 2,00 | 1 | 9,8 | | 3 | 6,80 - 6,90 | 9 | 66,2 |
| 2,00 - 2,10 | 1 | 9,8 | | 3 | 6,90 - 7,00 | 10 | 73,5 |
| 2,10 - 2,20 | 1 | 9,8 | | 3 | 7,00 - 7,10 | 9 | 63,0 |
| 2,20 - 2,30 | 1 | 9,8 | | 3 | 7,10 - 7,20 | 11 | 77,0 |
| 2,30 - 2,40 | 1 | 9,8 | | 3 | 7,20 - 7,30 | 11 | 77,0 |
| 2,40 - 2,50 | 1 | 9,8 | | 3 | 7,30 - 7,40 | 12 | 84,0 |
| 2,50 - 2,60 | --- | --- | | 4 | 7,40 - 7,50 | 12 | 84,0 |
| 2,60 - 2,70 | 2 | 18,4 | | 4 | 7,50 - 7,60 | 17 | 119,0 |
| 2,70 - 2,80 | 1 | 9,2 | | 4 | 7,60 - 7,70 | 18 | 126,0 |
| 2,80 - 2,90 | 2 | 18,4 | | 4 | 7,70 - 7,80 | 16 | 112,0 |
| 2,90 - 3,00 | 3 | 27,6 | | 4 | 7,80 - 7,90 | 12 | 84,0 |
| 3,00 - 3,10 | 2 | 18,4 | | 4 | 7,90 - 8,00 | 10 | 66,8 |
| 3,10 - 3,20 | 1 | 9,2 | | 4 | 8,00 - 8,10 | 7 | 46,8 |
| 3,20 - 3,30 | 1 | 9,2 | | 4 | 8,10 - 8,20 | 5 | 33,4 |
| 3,30 - 3,40 | 2 | 18,4 | | 4 | 8,20 - 8,30 | 6 | 40,1 |
| 3,40 - 3,50 | 3 | 25,9 | | 5 | 8,30 - 8,40 | 6 | 40,1 |
| 3,50 - 3,60 | 3 | 25,9 | | 5 | 8,40 - 8,50 | 7 | 46,8 |
| 3,60 - 3,70 | 4 | 34,6 | | 5 | 8,50 - 8,60 | 8 | 53,5 |
| 3,70 - 3,80 | 6 | 51,9 | | 5 | 8,60 - 8,70 | 7 | 46,8 |
| 3,80 - 3,90 | 4 | 34,6 | | 5 | 8,70 - 8,80 | 8 | 53,5 |
| 3,90 - 4,00 | 3 | 25,9 | | 5 | 8,80 - 8,90 | 8 | 51,1 |
| 4,00 - 4,10 | 4 | 34,6 | | 5 | 8,90 - 9,00 | 11 | 70,3 |
| 4,10 - 4,20 | 4 | 34,6 | | 5 | 9,00 - 9,10 | 9 | 57,5 |
| 4,20 - 4,30 | 3 | 25,9 | | 5 | 9,10 - 9,20 | 7 | 44,7 |
| 4,30 - 4,40 | 4 | 32,7 | | 6 | 9,20 - 9,30 | 8 | 51,1 |
| 4,40 - 4,50 | 5 | 40,8 | | 6 | 9,30 - 9,40 | 9 | 57,5 |
| 4,50 - 4,60 | 4 | 32,7 | | 6 | 9,40 - 9,50 | 7 | 44,7 |
| 4,60 - 4,70 | 6 | 49,0 | | 6 | 9,50 - 9,60 | 10 | 63,9 |
| 4,70 - 4,80 | 5 | 40,8 | | 6 | 9,60 - 9,70 | 10 | 63,9 |
| 4,80 - 4,90 | 4 | 32,7 | | 6 | 9,70 - 9,80 | 8 | 49,0 |

- PENETROMETRO DINAMICO tipo : DPH - DeepDrill

- M (massa battente)= **50,00** kg - H (altezza caduta)= **0,50** m - A (area punta)= **15,0000 cm²** - D(diam. punta)= **43,70 mm**

- Numero Colpi Punta N = N(10) [δ = 10 cm] - Uso rivestimento / fanghi iniezione : **SI**

PROVA PENETROMETRICA DINAMICA

TABELLE VALORI DI RESISTENZA

DIN 2

| | | | |
|--------------------------|--|------------------|------------------------|
| - committente : | | - data prova : | 03/07/2007 |
| - lavoro : | | - quota inizio : | 0,4 |
| - località : Campo Tures | | - prof. falda : | 1,50 m da quota inizio |

- data emiss. : 10/07/2007

- note :

| Prof.(m) | N(colpi p) | Rpd(kg/cm ²) | asta | Prof.(m) | N(colpi p) | Rpd(kg/cm ²) | asta |
|-------------|------------|--------------------------|------|----------|-------------|--------------------------|-------|
| 0,00 - 0,10 | --- | ---- | | 1 | 4,70 - 4,80 | 4 | 32,7 |
| 0,10 - 0,20 | --- | ---- | | 1 | 4,80 - 4,90 | 5 | 40,8 |
| 0,20 - 0,30 | --- | ---- | | 1 | 4,90 - 5,00 | 4 | 32,7 |
| 0,30 - 0,40 | --- | ---- | | 1 | 5,00 - 5,10 | 4 | 32,7 |
| 0,40 - 0,50 | --- | ---- | | 1 | 5,10 - 5,20 | 5 | 40,8 |
| 0,50 - 0,60 | 1 | 11,3 | | 1 | 5,20 - 5,30 | 6 | 46,4 |
| 0,60 - 0,70 | 2 | 22,6 | | 1 | 5,30 - 5,40 | 7 | 54,2 |
| 0,70 - 0,80 | 2 | 21,0 | | 2 | 5,40 - 5,50 | 7 | 54,2 |
| 0,80 - 0,90 | 1 | 10,5 | | 2 | 5,50 - 5,60 | 7 | 54,2 |
| 0,90 - 1,00 | 2 | 21,0 | | 2 | 5,60 - 5,70 | 7 | 54,2 |
| 1,00 - 1,10 | 1 | 10,5 | | 2 | 5,70 - 5,80 | 6 | 46,4 |
| 1,10 - 1,20 | 1 | 10,5 | | 2 | 5,80 - 5,90 | 5 | 38,7 |
| 1,20 - 1,30 | 2 | 21,0 | | 2 | 5,90 - 6,00 | 5 | 38,7 |
| 1,30 - 1,40 | 1 | 10,5 | | 2 | 6,00 - 6,10 | 7 | 54,2 |
| 1,40 - 1,50 | 1 | 10,5 | | 2 | 6,10 - 6,20 | 13 | 95,6 |
| 1,50 - 1,60 | 2 | 21,0 | | 2 | 6,20 - 6,30 | 14 | 102,9 |
| 1,60 - 1,70 | 2 | 19,6 | | 3 | 6,30 - 6,40 | 22 | 161,7 |
| 1,70 - 1,80 | 2 | 19,6 | | 3 | 6,40 - 6,50 | 33 | 242,6 |
| 1,80 - 1,90 | 1 | 9,8 | | 3 | 6,50 - 6,60 | 14 | 102,9 |
| 1,90 - 2,00 | --- | ---- | | 3 | 6,60 - 6,70 | 22 | 161,7 |
| 2,00 - 2,10 | 1 | 9,8 | | 3 | 6,70 - 6,80 | 25 | 183,8 |
| 2,10 - 2,20 | 2 | 19,6 | | 3 | 6,80 - 6,90 | 15 | 110,3 |
| 2,20 - 2,30 | 4 | 39,2 | | 3 | 6,90 - 7,00 | 16 | 117,6 |
| 2,30 - 2,40 | 13 | 127,4 | | 3 | 7,00 - 7,10 | 17 | 119,0 |
| 2,40 - 2,50 | 3 | 29,4 | | 3 | 7,10 - 7,20 | 16 | 112,0 |
| 2,50 - 2,60 | 3 | 27,6 | | 4 | 7,20 - 7,30 | 15 | 105,0 |
| 2,60 - 2,70 | 3 | 27,6 | | 4 | 7,30 - 7,40 | 13 | 91,0 |
| 2,70 - 2,80 | 1 | 9,2 | | 4 | 7,40 - 7,50 | 9 | 63,0 |
| 2,80 - 2,90 | 2 | 18,4 | | 4 | 7,50 - 7,60 | 7 | 49,0 |
| 2,90 - 3,00 | 2 | 18,4 | | 4 | 7,60 - 7,70 | 7 | 49,0 |
| 3,00 - 3,10 | 3 | 27,6 | | 4 | 7,70 - 7,80 | 8 | 56,0 |
| 3,10 - 3,20 | 2 | 18,4 | | 4 | 7,80 - 7,90 | 9 | 63,0 |
| 3,20 - 3,30 | 3 | 27,6 | | 4 | 7,90 - 8,00 | 9 | 60,1 |
| 3,30 - 3,40 | 3 | 27,6 | | 4 | 8,00 - 8,10 | 11 | 73,5 |
| 3,40 - 3,50 | 4 | 34,6 | | 5 | 8,10 - 8,20 | 9 | 60,1 |
| 3,50 - 3,60 | 3 | 25,9 | | 5 | 8,20 - 8,30 | 9 | 60,1 |
| 3,60 - 3,70 | 5 | 43,2 | | 5 | 8,30 - 8,40 | 9 | 60,1 |
| 3,70 - 3,80 | 4 | 34,6 | | 5 | 8,40 - 8,50 | 10 | 66,8 |
| 3,80 - 3,90 | 4 | 34,6 | | 5 | 8,50 - 8,60 | 9 | 60,1 |
| 3,90 - 4,00 | 4 | 34,6 | | 5 | 8,60 - 8,70 | 8 | 53,5 |
| 4,00 - 4,10 | 4 | 34,6 | | 5 | 8,70 - 8,80 | 9 | 60,1 |
| 4,10 - 4,20 | 5 | 43,2 | | 5 | 8,80 - 8,90 | 13 | 83,1 |
| 4,20 - 4,30 | 5 | 43,2 | | 5 | 8,90 - 9,00 | 12 | 76,7 |
| 4,30 - 4,40 | 4 | 32,7 | | 6 | 9,00 - 9,10 | 9 | 57,5 |
| 4,40 - 4,50 | 4 | 32,7 | | 6 | 9,10 - 9,20 | 9 | 57,5 |
| 4,50 - 4,60 | 4 | 32,7 | | 6 | 9,20 - 9,30 | 8 | 51,1 |
| 4,60 - 4,70 | 3 | 24,5 | | 6 | | | 11 |

- PENETROMETRO DINAMICO tipo : DPH - DeepDrill

- M (massa battente)= **50,00** kg - H (altezza caduta)= **0,50** m - A (area punta)= **15,0000 cm²** - D(diam. punta)= **43,70 mm**
- Numero Colpi Punta N = N(**10**) [δ = 10 cm] - Uso rivestimento / fanghi iniezione : **SI**

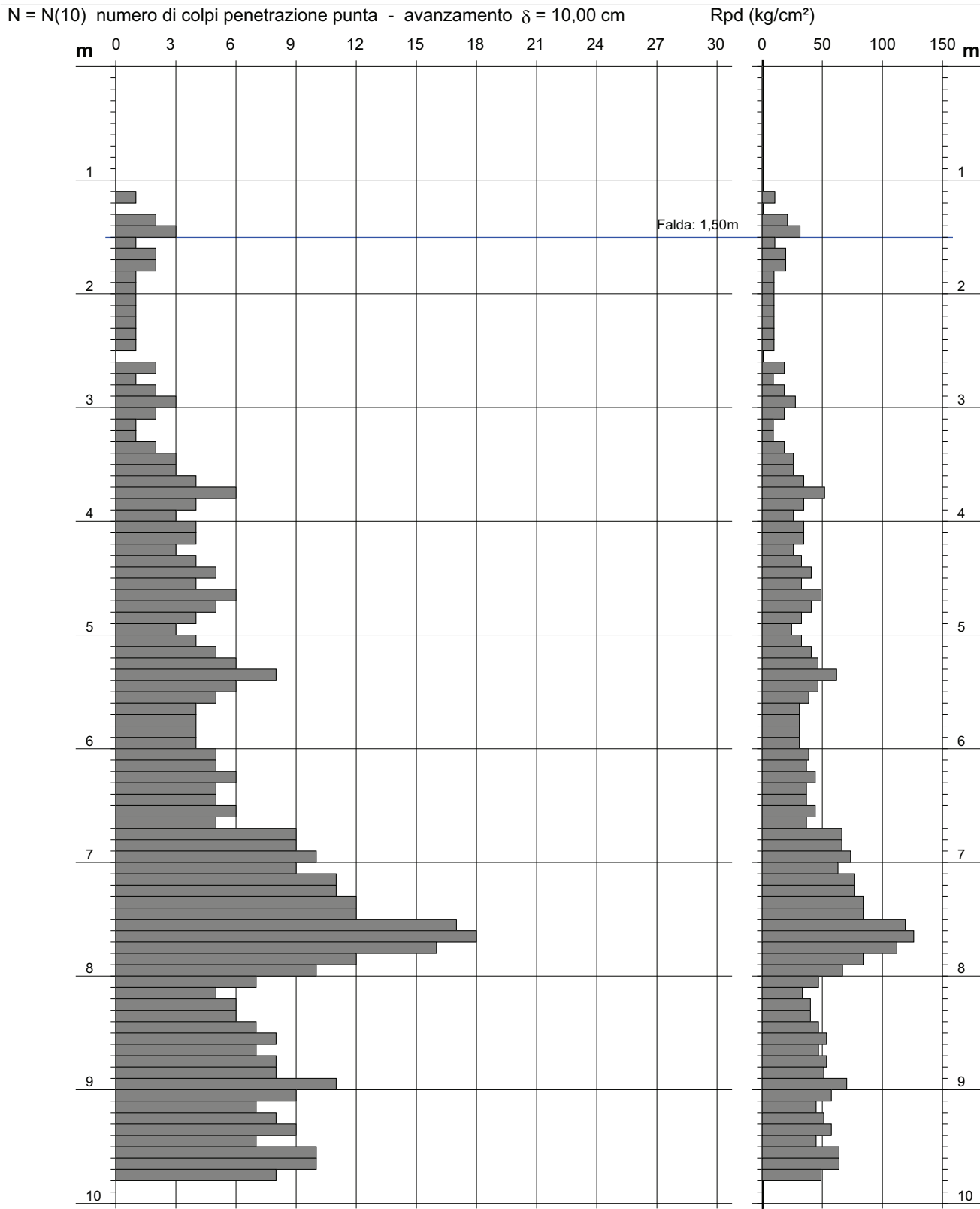
PROVA PENETROMETRICA DINAMICA
DIAGRAMMA NUMERO COLPI PUNTA - Rpd
DIN 1

Scala 1: 50

- committente :
- lavoro :
- località : Campo Tures

- data prova : 03/07/2007
- quota inizio : 1
- prof. falda : 1,50 m da quota inizio
- data emiss. : 10/07/2007

- note :



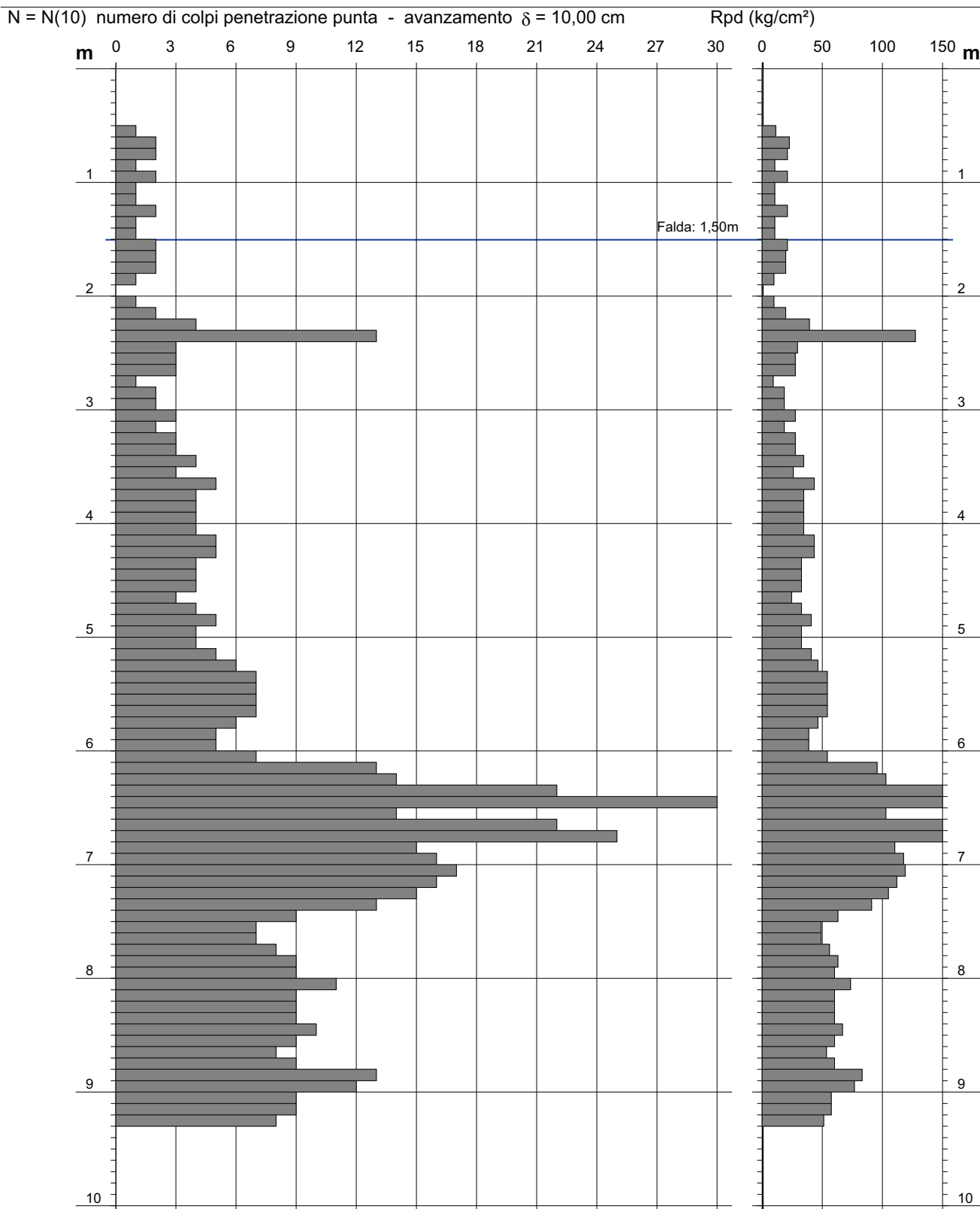
PROVA PENETROMETRICA DINAMICA
DIAGRAMMA NUMERO COLPI PUNTA - Rpd
DIN 2

Scala 1: 50

- committente :
 - lavoro :
 - località : Campo Tures

- data prova : 03/07/2007
 - quota inizio : 0.4
 - prof. falda : 1,50 m da quota inizio
 - data emiss. : 10/07/2007

- note :



PROVA PENETROMETRICA DINAMICA

ELABORAZIONE STATISTICA

DIN 1

| | | |
|--------------------------|------------------|------------------------|
| - committente : | - data prova : | 03/07/2007 |
| - lavoro : | - quota inizio : | 1 |
| - località : Campo Tures | - prof. falda : | 1,50 m da quota inizio |

- data emiss. : 13/07/2007

- note :

| n° | Profondità (m) | PARAMETRO | ELABORAZIONE STATISTICA | | | | | | | VCA | β | Nspt |
|----|----------------|-----------|-------------------------|-----|-----|----------------------|------|------|-------|-----|---------|-----------|
| | | | M | min | Max | $\frac{1}{2}(M+min)$ | s | M-s | M+s | | | |
| 1 | 0,00 1,10 | N | 0,0 | 0 | 0 | 0,0 | ---- | ---- | ---- | 0 | 2,13 | 0 |
| | | Rpd | 0,0 | 0 | 0 | 0,0 | ---- | ---- | ---- | 0 | 2,13 | |
| 2 | 1,10 3,50 | N | 1,5 | 0 | 3 | 0,7 | ---- | ---- | 2,3 | 2 | 2,13 | 4 |
| | | Rpd | 14,0 | 0 | 32 | 7,0 | 7,9 | 6,1 | 21,9 | 19 | 2,13 | |
| 3 | 3,50 6,70 | N | 4,7 | 3 | 8 | 3,8 | 1,1 | 3,5 | 5,8 | 5 | 2,13 | 11 |
| | | Rpd | 37,1 | 25 | 62 | 30,8 | 8,2 | 28,9 | 45,3 | 40 | 2,13 | |
| 4 | 6,70 8,20 | N | 11,2 | 5 | 18 | 8,1 | 3,6 | 7,6 | 14,8 | 11 | 2,13 | 23 |
| | | Rpd | 78,6 | 33 | 126 | 56,0 | 25,2 | 53,4 | 103,8 | 77 | 2,13 | |
| 5 | 8,20 9,80 | N | 8,1 | 6 | 11 | 7,0 | 1,4 | 6,6 | 9,5 | 8 | 2,13 | 17 |
| | | Rpd | 52,2 | 40 | 70 | 46,1 | 8,7 | 43,5 | 60,9 | 52 | 2,13 | |

M: valore medio min: valore minimo Max: valore massimo s: scarto quadratico medio VCA: valore caratteristico assunto
N: numero Colpi Punta prova penetrometrica dinamica (avanzamento $\delta = 10 \text{ cm}$) Rpd: resistenza dinamica alla punta (kg/cm^2)
 β : Coefficiente correlazione con prova SPT (valore teorico $\beta_t = 2,13$) Nspt: numero colpi prova SPT (avanzamento $\delta = 30 \text{ cm}$)

Nspt - PARAMETRI GEOTECNICI

DIN 1

| | | NATURA GRANULARE | | | | NATURA COESIVA | | | | | | | | | |
|----|-----------|------------------|-----|-----|-----|----------------|-----|------|------|------|------|------|-------|-----|-----------|
| n° | H | Nspt | Vs | G | Dr | ϕ' | E' | Ysat | Yd | Cu | Ysat | W | e | Q | Litologia |
| 1 | 0,00 1,10 | --- | --- | --- | --- | 26 | --- | 1,83 | 1,33 | --- | 1,60 | 67,9 | 1,833 | --- | |
| 2 | 1,10 3,50 | 4 | --- | 37 | 15 | 27 | --- | 1,87 | 1,39 | 0,25 | 1,80 | 41,7 | 1,125 | --- | |
| 3 | 3,50 6,70 | 11 | --- | 78 | 36 | 30 | --- | 1,94 | 1,51 | 0,69 | 1,91 | 32,1 | 0,867 | --- | |
| 4 | 6,70 8,20 | 23 | --- | 134 | 54 | 33 | --- | 2,01 | 1,62 | 1,44 | 2,06 | 22,6 | 0,610 | --- | |
| 5 | 8,20 9,80 | 17 | --- | 107 | 45 | 32 | --- | 1,97 | 1,56 | 1,06 | 1,98 | 27,0 | 0,729 | --- | |

Nspt: numero di colpi prova SPT (avanzamento $\delta = 30 \text{ cm}$)

DR % = densità relativa $\phi'(^{\circ})$ = angolo di attrito efficace E' (kg/cm^2) = modulo di deformazione drenato W% = contenuto d'acqua
e (-) = indice dei vuoti Cu (kg/cm^2) = coesione non drenata Ysat, Yd (t/m^3) = peso di volume saturo e secco (rispettivamente) del terreno
Vs (m/sec) = Velocità onde di taglio G (kg/cm^2) = Modulo di taglio dinamico Q (kg/cm^2) = [Rpd/Chi] [15>=Chi>=20] capacità portante Sanglerat 1972

PROVA PENETROMETRICA DINAMICA

ELABORAZIONE STATISTICA

DIN 2

- committente :
 - lavoro :
 - località : Campo Tures

- data prova : 03/07/2007
 - quota inizio : 0,4
 - prof. falda : 1,50 m da quota inizio
 - data emiss. : 13/07/2007

- note :

| n° | Profondità (m) | PARAMETRO | ELABORAZIONE STATISTICA | | | | | | | VCA | β | Nspt |
|----|----------------|-----------|-------------------------|-----|-----|----------------------|------|------|-------|-----|---------|-----------|
| | | | M | min | Max | $\frac{1}{2}(M+min)$ | s | M-s | M+s | | | |
| 1 | 0,00 0,50 | N Rpd | 0,0 | 0 | 0 | 0,0 | ---- | ---- | ---- | 0 | 2,13 | 0 |
| | | | 0,0 | 0 | 0 | 0,0 | ---- | ---- | ---- | 0 | 2,13 | |
| 2 | 0,50 3,00 | N Rpd | 2,2 | 0 | 13 | 1,1 | 2,2 | ---- | 4,4 | 2 | 2,13 | 4 |
| | | | 21,8 | 0 | 127 | 10,9 | 21,8 | ---- | 43,7 | 20 | 2,13 | |
| 3 | 3,00 6,10 | N Rpd | 4,6 | 2 | 7 | 3,3 | 1,4 | 3,2 | 6,0 | 5 | 2,13 | 11 |
| | | | 37,8 | 18 | 54 | 28,1 | 9,7 | 28,2 | 47,5 | 41 | 2,13 | |
| 4 | 6,10 7,50 | N Rpd | 17,4 | 9 | 33 | 13,2 | 6,1 | 11,3 | 23,6 | 17 | 2,13 | 36 |
| | | | 126,4 | 63 | 243 | 94,7 | 46,1 | 80,2 | 172,5 | 124 | 2,13 | |
| 5 | 7,50 9,30 | N Rpd | 9,2 | 7 | 13 | 8,1 | 1,5 | 7,6 | 10,7 | 9 | 2,13 | 19 |
| | | | 61,0 | 49 | 83 | 55,0 | 9,2 | 51,8 | 70,1 | 60 | 2,13 | |

M: valore medio min: valore minimo Max: valore massimo s: scarto quadratico medio VCA: valore caratteristico assunto
 N: numero Colpi Punta prova penetrometrica dinamica (avanzamento $\delta = 10$ cm) Rpd: resistenza dinamica alla punta (kg/cm^2)
 β : Coefficiente correlazione con prova SPT (valore teorico $\beta_t = 2,13$) Nspt: numero colpi prova SPT (avanzamento $\delta = 30$ cm)

Nspt - PARAMETRI GEOTECNICI

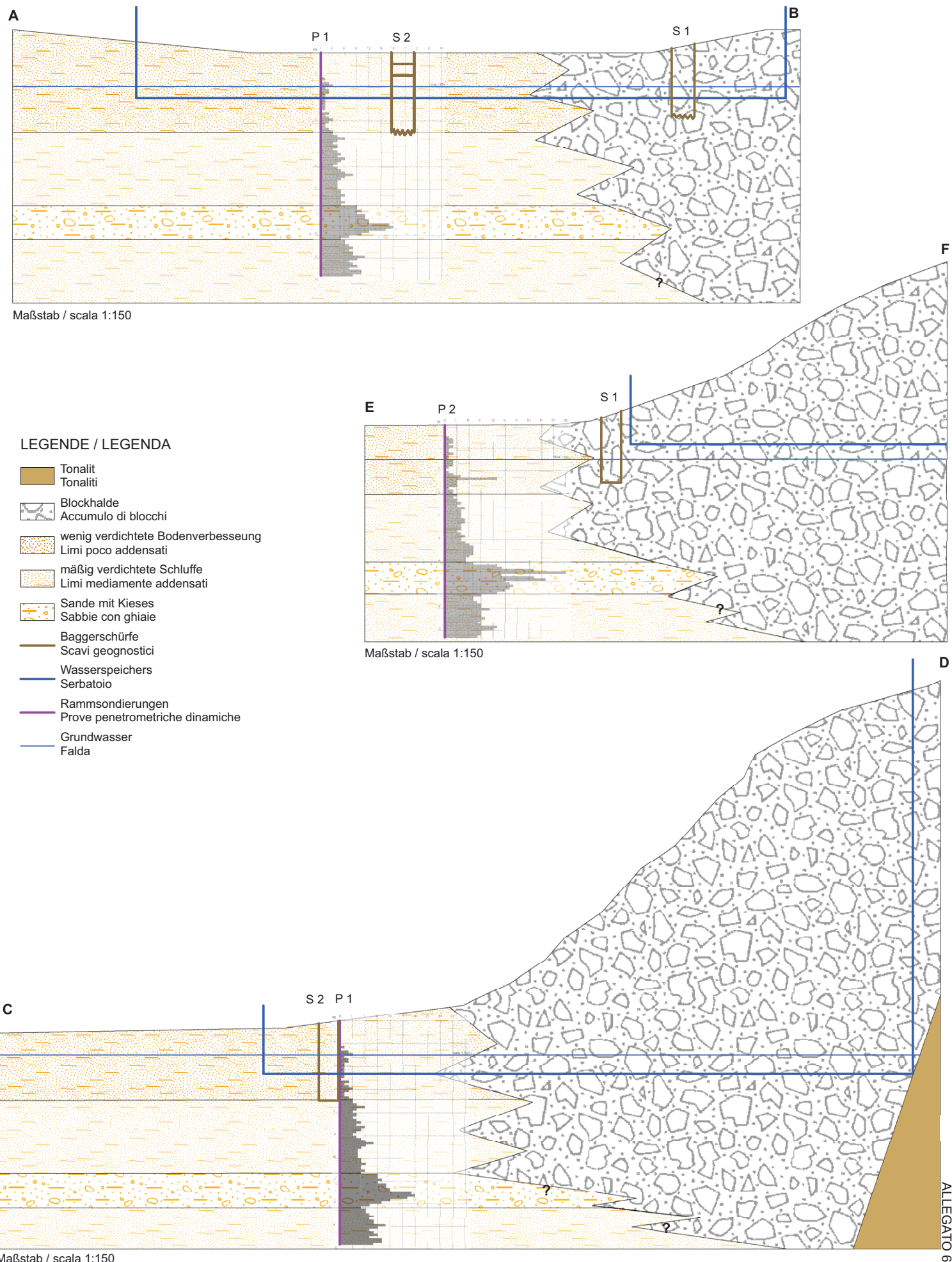
DIN 2

| | | NATURA GRANULARE | | | | NATURA COESIVA | | | | | | | | | |
|----|-----------|------------------|-----|-----|-----|----------------|-----|------|------|------|------|------|-------|-----|-----------|
| n° | H | Nspt | Vs | G | Dr | ϕ' | E' | Ysat | Yd | Cu | Ysat | W | e | Q | Litologia |
| 1 | 0,00 0,50 | --- | --- | --- | --- | 26 | --- | 1,83 | 1,33 | --- | 1,60 | 67,9 | 1,833 | --- | |
| 2 | 0,50 3,00 | 4 | --- | 37 | 15 | 27 | --- | 1,87 | 1,39 | 0,25 | 1,80 | 41,7 | 1,125 | --- | |
| 3 | 3,00 6,10 | 11 | --- | 78 | 36 | 30 | --- | 1,94 | 1,51 | 0,69 | 1,91 | 32,1 | 0,867 | --- | |
| 4 | 6,10 7,50 | 36 | --- | 187 | 71 | 37 | --- | 2,08 | 1,74 | 2,25 | 2,21 | 14,8 | 0,401 | --- | |
| 5 | 7,50 9,30 | 19 | --- | 117 | 48 | 32 | --- | 1,98 | 1,58 | 1,19 | 2,01 | 25,5 | 0,687 | --- | |

Nspt: numero di colpi prova SPT (avanzamento $\delta = 30$ cm)

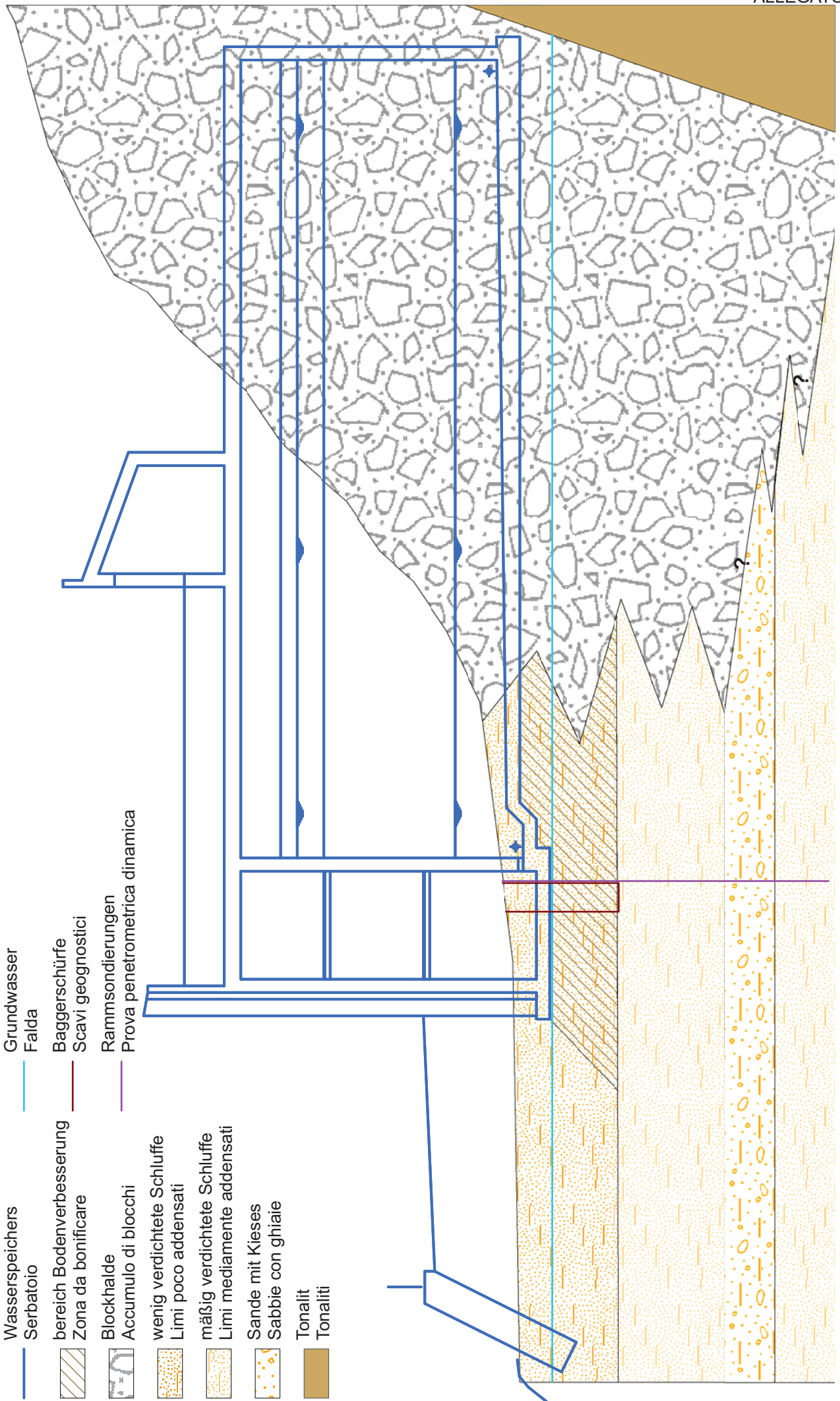
DR % = densità relativa $\phi'(^{\circ})$ = angolo di attrito efficace E' (kg/cm^2) = modulo di deformazione drenato W% = contenuto d'acqua
 $e (-)$ = indice dei vuoti Cu (kg/cm^2) = coesione non drenata Ysat, Yd (t/m^3) = peso di volume saturo e secco (rispettivamente) del terreno
 Vs (m/sec) = Velocità onde di taglio G (kg/cm^2) = Modulo di taglio dinamico Q (kg/cm^2) = [Rpd/Chi] [15>=Chi>=20] capacità portante Sanglerat 1972

GEOLOGISCH - GEOTECNICHE PROFILSCHNITTE
SEZIONI GEOLOGICHE - GEOTECNICHE AB, EF e CD



LEGENDE / LEGENDA

PROJECKTSCHNITT MIT BODENVERBESSERUNG
SEZIONE DA PROGETTO CON BONIFICA



TABELLEN ZU DEN SETZUNGSBERECHNUNGEN

TABULATI DI CALCOLO DEI CEDIMENTI

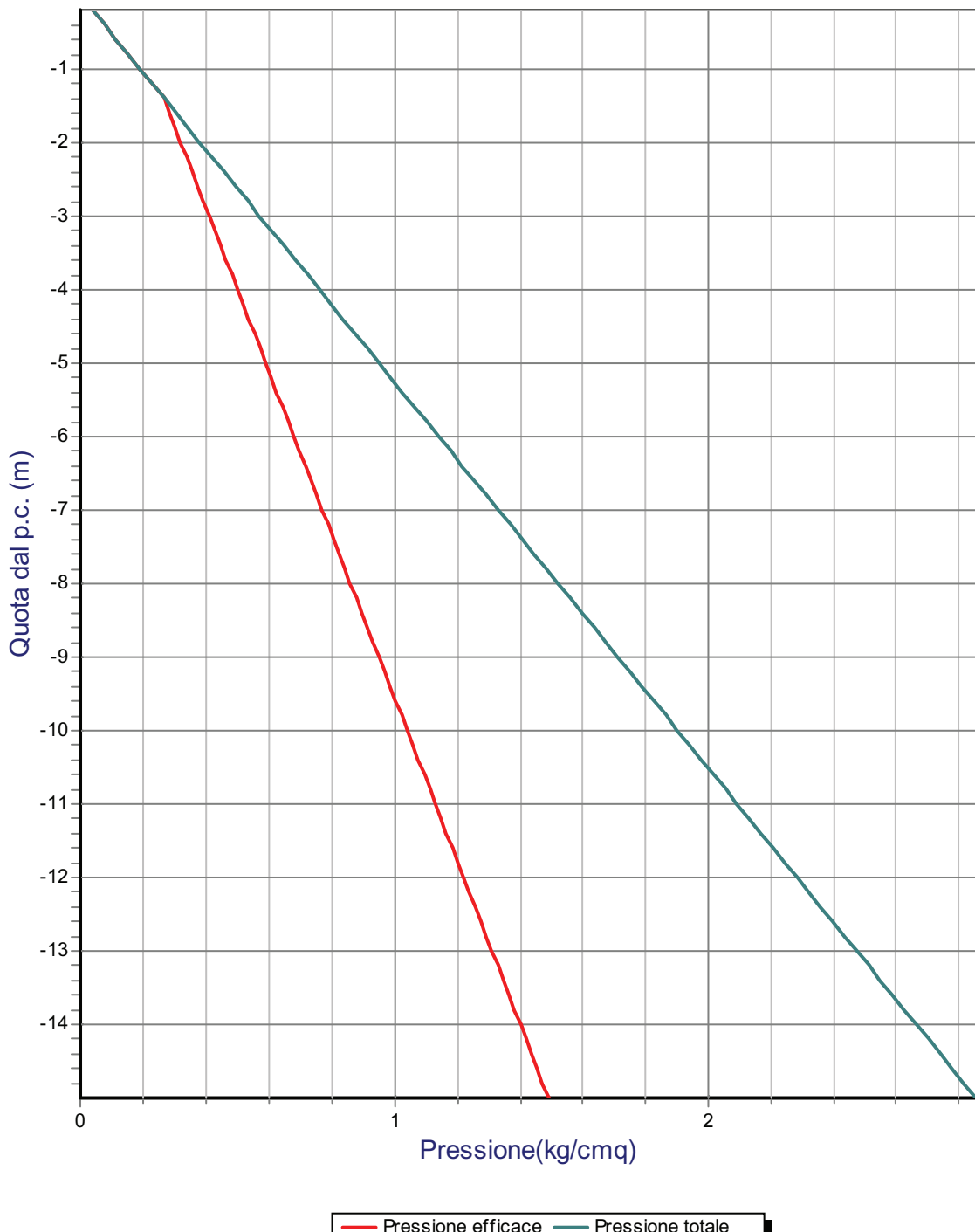
Committente:

Località:

Data:

Riferimenti:

Grafico della pressione efficace e totale del terreno



Profondità di calcolo dal p.c.(m): 15,0

Coordinata X di calcolo (m): 1,0

Passo di calcolo (m): 0,2

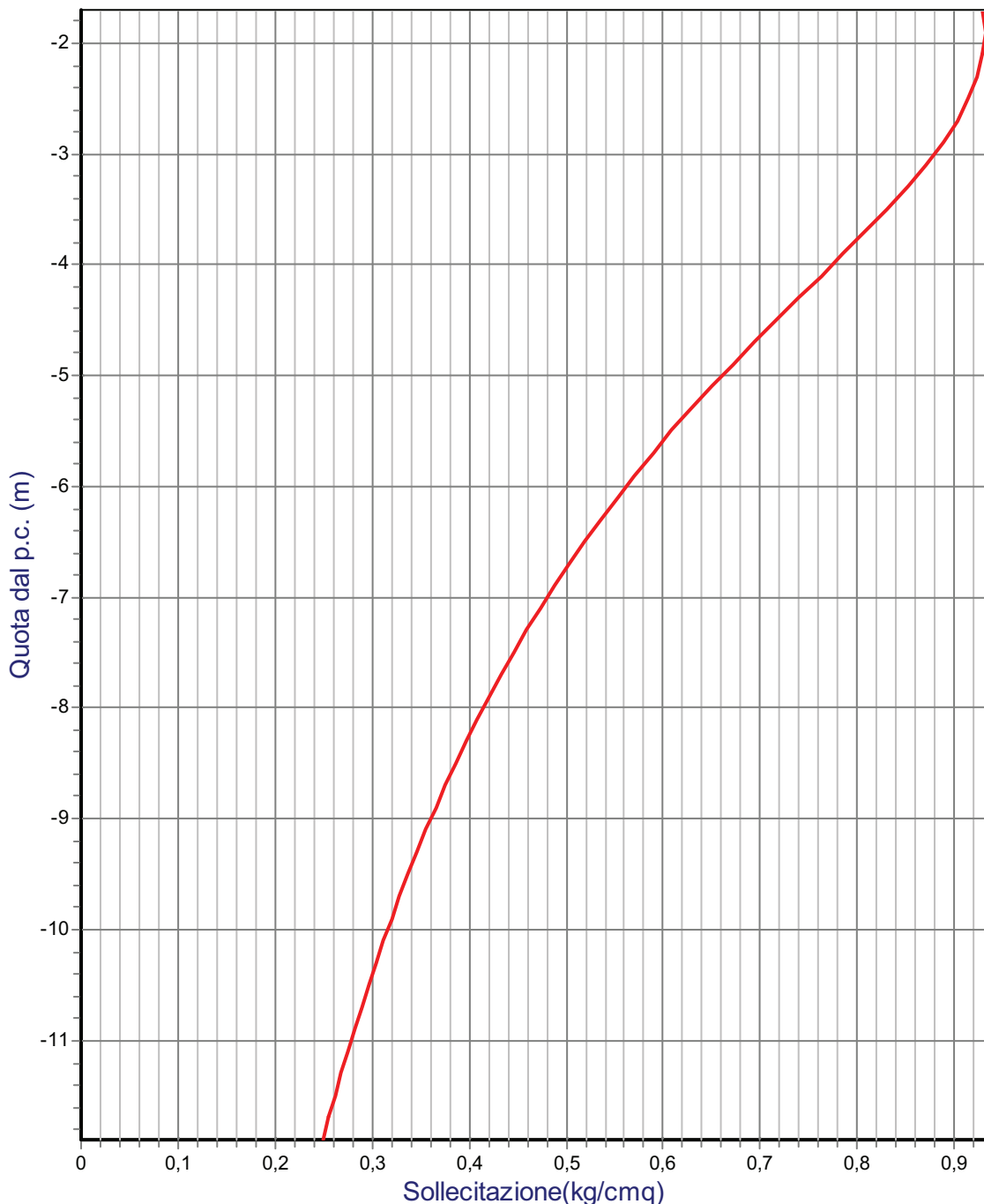
Committente:

Località:

Data:

Riferimenti:

Grafico della sollecitazione indotta nel terreno



Profondità di calcolo dal p.c.(m): 12,0

Coordinata X di calcolo (m): 12,5

Passo di calcolo (m): 0,2

Metodo di calcolo: Boussinesq

Sezione di calcolo: Sezione centrale

Coordinata Y di calcolo (m): 10,0

Committente:

Località:

Riferimenti:

Data:

Riassunto del calcolo dei cedimenti

Fondazione n. 1

Larghezza della fondazione (m): 5

Lunghezza della fondazione (m): 20

Carico applicato sulla fondazione (kg/cmq): 1,2

Livelli incoerenti

Metodo di calcolo dei cedimenti nei livelli incoerenti: Teoria dell'elasticità

Tempo di calcolo dei cedimenti secondari (anni): 30

Carico statico o pulsante (Burland e Burbridge): n.c.

Nspt crescente o decrescente (Burland e Burbridge): n.c.

| | Vertice sinistro | Punto centrale | Vertice destro |
|-----------------------------|------------------|----------------|----------------|
| Cedimento immediato (mm): | 0 | 25,2 | 0 |
| Cedimento secondario (mm): | 0 | 0 | 0 |
| Somma ced. incoerenti (mm): | 0 | 25,2 | 0 |

Livelli coesivi

Metodo di calcolo dei cedimenti nei livelli coesivi: Teoria dell'elasticità

Tempo di calcolo cedimenti di consolidazione(anni): 20

| | Vertice sinistro | Punto centrale | Vertice destro |
|-----------------------------|------------------|----------------|----------------|
| Ced.di consolidazione (mm): | 0 | 0 | 0 |
| Cedimento secondario (mm): | 0 | 0 | 0 |
| Somma ced. coesivi (mm): | 0 | 0 | 0 |

Cedimenti complessivi (incoerenti+coesivi)

| | Vertice sinistro | Punto centrale | Vertice destro |
|---------------------------------|-------------------|----------------|----------------|
| Cedimento complessivo (mm): | 0 | 25,2 | 0 |
| Max cedim. differenziale(mm): | 0 | | |
| Massima distorsione (%): | 0 | | |
| Fondazione rigida o flessibile: | Fondazione rigida | | |

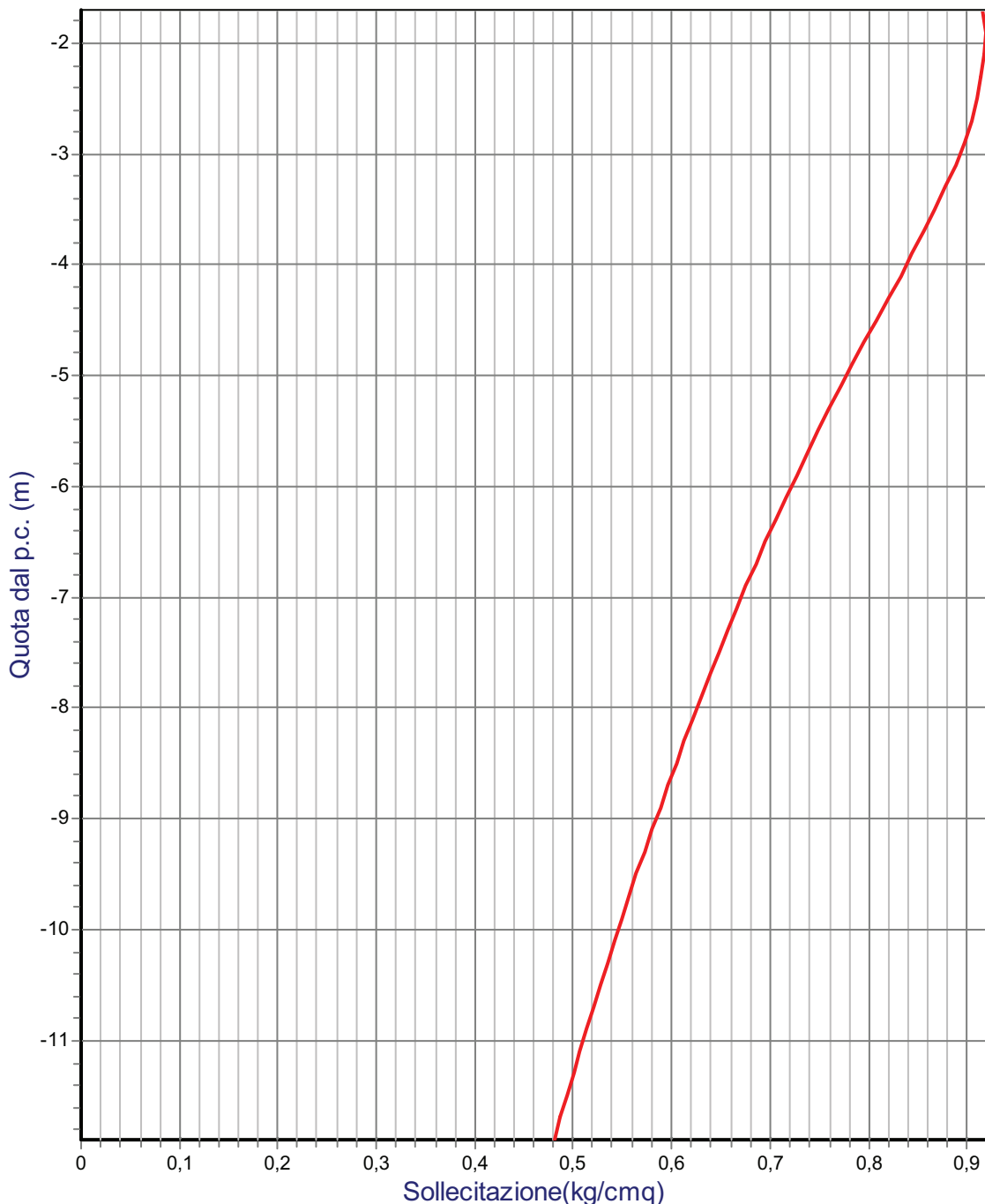
Committente:

Località:

Data:

Riferimenti:

Grafico della sollecitazione indotta nel terreno



Profondità di calcolo dal p.c.(m): 12,0

Coordinata X di calcolo (m): 12,5

Passo di calcolo (m): 0,2

Metodo di calcolo: Boussinesq

Sezione di calcolo: Sezione centrale

Coordinata Y di calcolo (m): 10,0

Committente:

Località:

Data:

Riferimenti:

Riassunto del calcolo dei cedimenti

Fondazione n. 1

Larghezza della fondazione (m): 20

Lunghezza della fondazione (m): 20

Carico applicato sulla fondazione (kg/cmq): 1,2

Livelli incoerenti

Metodo di calcolo dei cedimenti nei livelli incoerenti: Teoria dell'elasticità

Tempo di calcolo dei cedimenti secondari (anni): 30

Carico statico o pulsante (Burland e Burbridge): n.c.

Nspt crescente o decrescente (Burland e Burbridge): n.c.

| | Vertice sinistro | Punto centrale | Vertice destro |
|-----------------------------|------------------|----------------|----------------|
| Cedimento immediato (mm): | 0 | 11,1 | 0 |
| Cedimento secondario (mm): | 0 | 0 | 0 |
| Somma ced. incoerenti (mm): | 0 | 11,1 | 0 |

Livelli coesivi

Metodo di calcolo dei cedimenti nei livelli coesivi: Teoria dell'elasticità

Tempo di calcolo cedimenti di consolidazione(anni): 20

| | Vertice sinistro | Punto centrale | Vertice destro |
|-----------------------------|------------------|----------------|----------------|
| Ced.di consolidazione (mm): | 0 | 0 | 0 |
| Cedimento secondario (mm): | 0 | 0 | 0 |
| Somma ced. coesivi (mm): | 0 | 0 | 0 |

Cedimenti complessivi (incoerenti+coesivi)

| | Vertice sinistro | Punto centrale | Vertice destro |
|---------------------------------|-------------------|----------------|----------------|
| Cedimento complessivo (mm): | 0 | 11,1 | 0 |
| Max cedim. differenziale(mm): | 0 | | |
| Massima distorsione (%): | 0 | | |
| Fondazione rigida o flessibile: | Fondazione rigida | | |

BILDDOKUMENTATION
DOCUMENTAZIONE FOTOGRAFICA



Foto 1: Esecuzione scavo geognostico S2
Durchführung des Baggerverschlages S2



Foto 2: Esecuzione prova
penetrometrica P2
Durchführung der
Rammsondierung P2

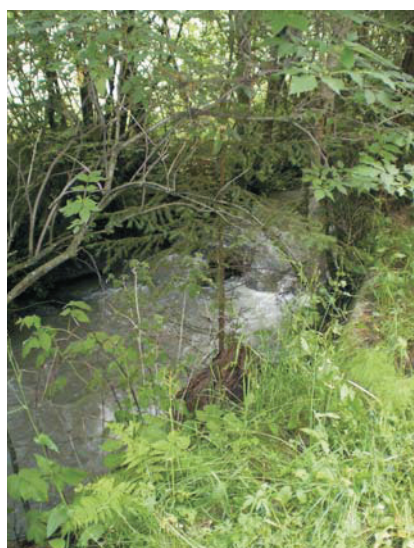


Foto 3, 4: Il livello di falda nell'area in
esame è regolato dal livello del vicino rio
Der Grundwasserspiegel im
Untersuchungsgebiet wird vom
Wasserstand des nahegelegenen
Bachlaufes bestimmt.